

324 / 2
1952



საქართველოს სსრ
მეცნიერებათა აკადემიის
გ მ ე მ გ ე

გომი XIII, № 6

ქიტიური, ქართული გამოცემა

1952

საქართველოს სსრ მეცნიერებათა აკადემიის გამომცემლობა
თბილისი



შ ი ნ ა ა რ ს ი

მათემატიკა

- 1. მ. გაგუა. ფუნქციების ელიფსური განტოლების კერძო ამოხსნების მწკრივად გაშლის საკითხისათვის 321
- 2. ა. ბენდუქიძე. ორმაგი რიცხვითი მწკრივების მძლავრი შეჯამებადობა 329

დრებადობის თეორია

- 3. გ. ხატიაშვილი. შედგენილი ცილინდრული ძელის დეფორმაციის საკითხისათვის დატვირთული გვერდითი ზედაპირის შემთხვევაში 335

ფიზიკა

- 4. დ. ჩიღვინაძე, ვ. ბრავინსკი, ი. ჩხეიძე. მოწყობილობა ПИМТ-3 ზელსაწყოს ჩაშვების ავტომატიზაციისათვის 343

ბიოლოგია

- 5. პ. გამყრელიძე, ნ. ბენდუქიძე და მ. ერისთავი. ცხანარის მიდამოების ცარცული ნალექების სტრატეგრაფიისათვის 347

მინერალოგია

- 6. თ. მჭედლიშვილი-პეტროსიანი. თიხოვანი მინერალების აქტივობის საერთო თეორიის საკითხებისათვის 355

ტექნიკა

- 7. თ. თნაშვილი და ა. ჯაბუა. თხელკედლიანი ცილინდრული ბუნკერის წინაღობის შესახებ თარახული ძალების კმედების მიმართ 359

ზოტანიკა

- 8. ბ. გავრილენკო. ფურისულას ახალი სახეობა თბილისის მიდამოებში 367

ნიადაგმცოდნეობა

- 9. გ. კოსტავა. წითელმიწებში ნიადაგწარმოქმნის პროცესების შესახებ მათი ფრაქციების კიმიური შედგენილობის მიხედვით 371

ფიზიოლოგია

- 10. ა. როიტბაკი და ს. ხეჩინაშვილი. საწყოსავე ბოლქვის ელექტრული აქტივობის საკითხისათვის 377

ისტორია

- 11. გ. მედიქიშვილი. საქართველოს მტეხუმის ბაბილონური წარწერა 383



მათემატიკა

მ. ბაბუა

ფუნქციების ელიფსური განტოლების კერძო ამოხსნების მჭკრივად
გაშლის საკითხისათვის

(წარმოადგინა აკადემიის ნამდვილმა წევრმა ი. ვეჯამ 27.11.1951)

განვიხილოთ განტოლება:

$$\Delta u + a(x, y) \frac{\partial u}{\partial x} + b(x, y) \frac{\partial u}{\partial y} + c(x, y) u = 0, \quad (E_0)$$

სადაც Δ ლაპლასის ოპერატორია, ხოლო $a(x, y)$, $b(x, y)$ და $c(x, y)$ მოცე-
ბული მთელი, ნამდვილი ფუნქციებია x და y ნამდვილი ცვლადებისა.

როგორც ცნობილია [1], ზოგადი ამოხსნა მოცემული განტოლებისა, ნე-
ბისმიერ მარტივადმულ T არეში მოიცემა ფორმულით

$$u(x, y) = \operatorname{Re} \left[G(\zeta, \bar{\zeta}, z, \bar{z}) \Phi(z) - \int_{\zeta}^{\bar{\zeta}} \Phi(t) \frac{\partial}{\partial t} G(t, \bar{t}, z, \bar{z}) dt \right], \quad (1)$$

სადაც $z = x + iy \in T$, $\zeta = \xi + i\eta$ ნებისმიერად ფიქსირებული წერტილია T
არეში, $G(t, \bar{t}, z, \bar{z})$ (E_0) განტოლების რიმანის ფუნქციაა, რომელიც t, \bar{t}, z
და \bar{z} კომპლექსური ცვლადების მთელ ფუნქციას წარმოადგენს, ხოლო $\Phi(z)$
არის T არეში განსაზღვრული, ნებისმიერი ანალიზური ფუნქცია.

განვიხილოთ (E_0) განტოლების $u_n(x, y)$ ($n = 1, 2, \dots$) კერძო ამოხსნათა
სისტემა:

$$u_n(x, y) = \operatorname{Re} \left[G(\zeta, \bar{\zeta}, z, \bar{z}) P_n(z) - \int_{\zeta}^{\bar{\zeta}} P_n(t) \frac{\partial}{\partial t} G(t, \bar{t}, z, \bar{z}) dt \right], \quad (2)$$

სადაც $P_n(z)$ არის $z = x + iy$ ცვლადის n -ური რიგის ნებისმიერი პოლინომი
 $u_n(x, y)$ კერძო ამოხსნები ჰქმნიან ფუნქციების წრფივად დამოუკიდებელ
სისტემას, $\Delta u = 0$ განტოლების შემთხვევაში წარმოადგენენ ჰარმონიულ პო-
ლინომებს, ხოლო ზოგიერთ სხვა კერძო შემთხვევაში ცხადი სახით გამოისა-
ხებიან სპეციალური ფუნქციების საშუალებით [1].

საკითხი, სად და რისკენ შეიძლება თანაბრად შეიკრიბონ z -ცვლადის
პოლინომები, დიდი ხანი არაა, რაც სავსებით გადაჭრილი იქნა ს. მერგე-
ლიანის მიერ [2]. მივყვებით რა [3]-ში მოცემულ მეთოდს, წინამდებარე
შენიშვნაში ჩვენ შევეხებით ანალოგიურ საკითხს (2) კერძო ამოხსნებისათვის.

ვთქვათ, E შემოსაზღვრული, ჩაკეტილი სიმრავლეა, ხოლო $f(x, y)$ E -ზე
განსაზღვრული უწყვეტი ფუნქციაა, რომელიც (E_0) განტოლების რიგადმოდ



ამოხსნას წარმოადგენს E სიმრავლის შიგა წერტილთა ერთობლიობაზე (თუ კი ასეთები არსებობენ).

ქვევით, ზოგადობის შეუზღუდველად ვიგულისხმებთ, რომ E ბმული სიმრავლეა, ე. ი. E კონტინუუმი.

სიმრავლის შიგა წერტილთა ერთობლიობა აღვნიშნოთ G -თი, ხოლო E -ს დამატება მთელს სიბრტყეულ CE -თი. ცხადია, $CE = G_0 + \sum_{i=1}^{\infty} G_i$, სადაც

G_i ($i = 0, 1, 2, \dots$) — CE სიმრავლის ბმული კომპონენტებია, ამასთან G_0 მარტივადბმული არეა, რომელიც უსასრულოდ დაშორებულ წერტილს შეიცავს. ვთქვათ,

$$E_1 = \sum_{i=1}^{\infty} G_i + E,$$

ხოლო G^* ერთობლიობაა E_1 სიმრავლის შიგა წერტილებისა. ვიგულისხმობთ, რომ $G^* = G + \sum_{i=1}^{\infty} G_i$, მაშასადამე, $E_1 - G^* = E - G = \Gamma$ (ეს პირობა აუცილებელია).

შევიარჩიოთ ახლა D_1, D_2, \dots მარტივადბმული არეების მიმდევრობა იმდაგვარად, რომ დაცულ იქნეს პირობები:

$$1. E_1 \in D_{n+1} \in D_n, n = 1, 2, \dots$$

2. დამატება D_n სიმრავლისა იკრიბება E_1 სიმრავლის დამატებისაკენ.

ვთქვათ, $\varphi_n(x, y)$ ($n = 1, 2, \dots$) შესაბამისად D_n არეებზე განსაზღვრულ ფუნქციათა მიმდევრობაა, რომელნიც თანაბრად იკრიბებიან E -ზე $f(x, y)$ ფუნქციისაკენ, და მეორე რიგამდე, ჩათვლით, აქვთ უწყვეტი წარმოებულები შესაბამის D_n -სიმრავლეებზე.

ვთქვათ, $\omega(x, y, \xi, \eta)$ (E_0) განტოლების ნორმირებული, სტანდარტული, ელემენტარული ამოხსნაა:

$$\omega(z, \zeta) = \omega(x, y, \xi, \eta) = -\frac{1}{4\pi} \left\{ \operatorname{Re} \left[G(z, \bar{\zeta}, z, \bar{\zeta}) \lg(z - \zeta) - \int_{\zeta}^{\bar{\zeta}} \lg(t - \zeta) \frac{\partial}{\partial t} G(t, \bar{\zeta}, z, \bar{\zeta}) dt \right] + k(z, \zeta) \right\}, \quad (*)$$

$$(z = x + iy, \zeta = \xi + i\eta, \bar{z} = x - iy, \bar{\zeta} = \xi - i\eta),$$

სადაც $k(\xi, \zeta)$ ყოველი ფიქსირებული ζ -სათვის წარმოადგენს (E_0) განტოლების მთელ ამოხსნას x და y ცვლადების მიმართ (დაწერილებით იხ. [1]).

ადვილი შესამჩნევია [4], რომ $\varphi_n(x, y)$ ფუნქცია შესაბამის D'_n არეში შემდეგი სახით შეიძლება იქნეს წარმოდგენილი ($D'_n - D_n$ არის ქვეარეა, რომელიც E_1 -ს შეიცავს, ე. ი. $E \in D'_n \in D_n$):

ფუნქციების ელიფსური განტოლების კერძო ამოხსნ. მწკრივად გაშლის საკითხისათვის

$$\varphi_n(x, y) = v_n(x, y) - \iint_{\zeta \in D_n} \omega(x, y, \zeta, \eta) E(x_n(\zeta, \eta)) d\xi d\eta, \quad \zeta = \xi + i\eta, \quad (3)$$

სადაც

$$E(\varphi_n(\zeta, \eta)) = \Delta \varphi_n + a \frac{\partial \varphi_n}{\partial \bar{\zeta}} + b \frac{\partial \varphi_n}{\partial \eta} + c \varphi_n, \quad (4)$$

ხოლო $v_n(x, y)$ (E_0) განტოლების რეგულარულ ამოხსნას წარმოადგენს D_n არეში x და y ცვლადების მიმართ.

თეორემა 1. იმისათვის, რომ E -ზე განსაზღვრული ნებისმიერი უწყვეტი ფუნქცია $f(x, y)$, რომელიც (E_0) განტოლების რეგულარულ ამოხსნას წარმოადგენს E სიმრავლის შიგა წერტილთა ერთობლიობაზე, გაიშალოს (2) კერძო ამოხსნათა მწკრივად, რომელიც თანაბრად იკრიბება E სიმრავლეზე $f(x, y)$ ფუნქციისაკენ, აუცილებელია და საკმარისი, რომ არსებობდეს $\varphi_n(x, y)$ ($n = 1, 2, \dots$) ფუნქციათა მიმდევრობა, რომელიც დამატებითად დააკმაყოფილებს პირობას:

$$\lim_{n \rightarrow \infty} \iint_{\zeta \in G^*} \omega(\zeta, \bar{\zeta}) E(\varphi_n(\zeta)) d\xi d\eta = 0, \quad (5)$$

სადაც კრებადობა ζ -ის მიმართ თანაბარია ($\zeta = x + iy \in E$, $\bar{\zeta} = \xi + i\eta \in G^*$).

პირობის აუცილებლობა ცხადია.

აღვილად შეიძლება დამტკიცდეს აგრეთვე საკმარისობაც. მართლაც:

$$\begin{aligned} \varphi_n(x, y) = v_n(x, y) + \iint_{\zeta \in G^*} \omega(\zeta, \bar{\zeta}) E(\varphi_n(\zeta)) d\xi d\eta - \iint_{\zeta \in \Gamma} \omega(\zeta, \bar{\zeta}) E(\varphi_n(\zeta)) d\xi d\eta \\ + \iint_{\zeta \in R_n} \omega(\zeta, \bar{\zeta}) E(\varphi_n(\zeta)) d\xi d\eta, \end{aligned} \quad (6)$$

სადაც $\zeta = x + iy \in D_n$, ხოლო $R_n = D_n - E_1$.

ი. ვეკუას [1] ერთი თეორემის საფუძველზე (რომელიც ჩვენი შემთხვევისათვის რუნგეს თეორემის ანალოგს წარმოადგენს), თუ მხედველობაში მივიღებთ (5)-ს და ცხად ტოლობას $\lim_{n \rightarrow \infty} \text{mes}[D_n - E_1] = 0$, აღვილად შევიამ-

ჩნევთ, რომ ფორმულირებულ დებულების დამტკიცებისათვის საკმარისია ვაჩვენოთ

$$\Phi(x, y) = \iint_{\zeta \in \Gamma} \omega(\zeta, \bar{\zeta}) E(\varphi_n(\zeta)) d\xi d\eta, \quad (\zeta = x + iy \in E, \bar{\zeta} = \xi + i\eta)$$

ფუნქციის, სადაც n ფიქსირებულია, (2) კერძო ამოხსნებით თანაბარი აპროქსიმაციის შესაძლებლობა E სიმრავლეზე.

$\Phi(x, y)$ ფუნქციის თანაბარი აპროქსიმაციისათვის E -ზე საკმარისია [3], რომ ყოველი $\zeta = \xi + i\eta \in \Gamma$ და ნებისმიერი $\varepsilon > 0$ -სათვის არსებობდეს (E_0) განტოლების მთელი ამოხსნა $u_\varepsilon(x, y) = u_\varepsilon(\zeta)$, რომელიც აკმაყოფილებს პირობებს:

$$\left. \begin{aligned} \iint_{|z-\zeta|<\varepsilon} |\omega(z, \zeta) - u_{\zeta}(z)| d\xi d\eta < A \cdot \varepsilon, \quad \zeta = \xi + i\eta \in \Gamma, \\ |\omega(z, \zeta) - u_{\zeta}(z)| < B \cdot \varepsilon, \quad |z - \zeta| \geq \varepsilon, \quad \zeta \in \Gamma, \end{aligned} \right\} \quad (7)$$

სადაც A და B აბსოლუტური მუდმივებია, ხოლო $z \in E_{\zeta}$ (E_{ζ} გარკვეული მარტივადმზული არეა, რომელიც შეიცავს E_1 -ს და წერტილს $\zeta + i$)¹.

განვიხილოთ (E_0) განტოლების მთელი ამოხსნა

$$u_{\zeta}(z) = -\frac{1}{4\pi} \left\{ \operatorname{Re} \left[G(z, \bar{\zeta}, z, \bar{z}) \int_{\zeta+i}^{\bar{z}} p_{\zeta}(t) dt - \int_{\zeta}^{\bar{z}} \left\{ \int_{\zeta+i}^t p_{\zeta}(\tau) d\tau \right. \right. \right. \\ \left. \left. \left. \times \frac{\partial}{\partial t} G(t, \bar{\zeta}, z, \bar{z}) \right\} dt \right] + k(z, \zeta) \right\}, \quad (**)$$

$$(z = x + iy, \zeta = \xi + i\eta, \bar{z} = x - iy, \bar{\zeta} = \xi - i\eta),$$

სადაც $p_{\zeta}(z)$ z ცვლადის პოლინომია, რომელიც აკმაყოფილებს პირობებს:

$$\left. \begin{aligned} |p_{\zeta}(z)| < A_1 |z - \zeta|^{-1}, \quad \zeta \in \Gamma, \quad |z - \zeta| < \varepsilon \\ |(\bar{z} - \bar{\zeta})^{-1} - p_{\zeta}(z)| < B_1 \cdot \varepsilon, \quad \zeta \in \Gamma, \quad |z - \zeta| \geq \varepsilon, \end{aligned} \right\} \quad (8)$$

სადაც A_1 და B_1 აბსოლუტური მუდმივებია. ასეთი პოლინომების არსებობა დამტკიცებულია [3] ში. ახლა (*) და (**) ფორმულებისა და (8) უტოლობის თანახმად, ადვილად შეიძლება შემოწმდეს, რომ ფუნქცია $u_{\zeta}(z)$ აკმაყოფილებს (7) უტოლობას, რითაც თეორემა სავსებით დამტკიცებულია.

კერძოდ, თუ სიმრავლე E წარმოადგენს არსად მკვრივ, ჩაკეტილ სიმრავლეს, რომელიც სიბრტყეს არ ჰყოფს, ხოლო $\varphi_n(x, y)$ ($n = 1, 2, \dots$) ფუნქციებად ავიღებთ x და y ცვლადების მიერ რაციონალურ ფუნქციებს (რაც, ვეიერშტრასის ცნობილი დებულების თანახმად ზოგადობას არ ზღუდავს), მაშინ, როგორც უშუალო შედეგს ზემოთ დამტკიცებული დებულებისას, ვღებულობთ:

თეორემა 2. ყოველი E -ზე განსაზღვრული უწყვეტი $f(x, y)$ ფუნქცია გაიშლება (2) კერძო ამოხსნების მწყობრად, რომელიც თანაბრად იკრიბება E -ზე $f(x, y)$ ფუნქციისაკენ.

მაშასადამე, სამართლიანია დებულება, რომელიც მ. ლავრენტიევის ცნობილი დებულების სრულ ანალოგს წარმოადგენს.

თუ E სიმრავლე წარმოადგენს ჩაკეტილ, მარტივადმზულ არეს, რომლისათვისაც დირიხლეს ამოცანა (E_0) განტოლებისათვის მდგრადია [5, 6], მაშინ აგება $\varphi_n(x, y)$ ($n = 1, 2, \dots$) მიმდევრობისა, რომელიც თეორემა 1-ში მოთხოვნილ პირობებს აკმაყოფილებს, ტრივიალურია.

განვიხილოთ ახლა შემთხვევა, როდესაც (E_0) განტოლებაში $a \equiv b \equiv 0$, ე. ი. განტოლება:

$$\Delta u + c(x, y) u = 0. \quad (9)$$

¹ იხილეთ [2, 3]-ში დამტკიცება ტექსტში მოყვანილი (8) უტოლობებისა.

ვთქვათ, E რაიმე სასრული, ჩაკეტილი, მარტივადმზული ჯორდანის არეა. როგორც ცნობილია, (E_0) განტოლებისათვის E არეში დირიხლეს ამოცანა საზოგადოდ არაა ამოხსნადი.

ჩვენ ქვევით, E არის დამატებით შეზღუდვის პირობებში, ვაგებთ $\varphi_n(x, y)$ ($n = 1, 2, \dots$) ფუნქციითა მიმდევრობას, რომელიც თეორემა 1-ში მოთხოვნილ ყველა პირობას აკმაყოფილებს.

ვთქვათ,

$$\Phi_n(z) = X_n(x, y) + iY_n(x, y), \quad (z = x + iy \in D_n, X_n + iY_n \in G)$$

ფუნქციად, რომელიც კონფორმულად G -ს გადასახავს (G სიმრავლეა E სიმრავლის შიგა წერტილებსა) D_n არეზე; ამასთან,

$$\Phi_n(0) = 0, \quad \Phi'_n(0) > 0, \quad (n = 1, 2, \dots)$$

(ზოგადობის შეუზღუდველად ვგულისხმობთ, რომ $z = 0$ ეკუთვნის G -ს). $\Phi_n(z)$ ფუნქციის შექცეული ფუნქცია აღენიშნოთ $\Phi_n^{-1}(z)$ -ით. ცხადია,

$$\left. \begin{aligned} \lim_{n \rightarrow \infty} \Phi_n(z) &= z, & \lim_{n \rightarrow \infty} \Phi_n^{-1}(z) &= z, & z \in E, \\ \lim_{n \rightarrow \infty} \Phi'_n(z) &= 1, & z \in G \end{aligned} \right\} \quad (10)$$

სადაც პირველ ორ ტოლობაში კრებადობა თანაბარია E -ზე, ხოლო მესამე ტოლობაში — G სიმრავლის ყოველ ჩაკეტილ ქვესიმრავლეზე.

ვთქვათ, $u(x, y)$ (E_0) განტოლების E -ზე უწყვეტი და G -ში რეგულარული ამოხსნაა.

განვიხილოთ მიმდევრობა ფუნქციებისა:

$$\varphi_n(z) = \varphi_n(x, y) = u(X_n(x, y), Y_n(x, y)), \quad n = 1, 2, \dots \quad (11)$$

სადაც

$$X_n(x, y) + iY_n(x, y) = \Phi_n(z), \quad (z = x + iy \in \bar{D}_n, X_n + iY_n \in E).$$

დავუქვემდებაროთ ახლა E არე შემდეგ შეზღუდვას:

$$\iint_F |\Phi'_n(z)|^2 d\xi d\eta \equiv M \text{ mes } F, \quad (12)$$

სადაც $F \in D_n$ ნებისმიერი ღია სიმრავლეა, ხოლო M მუდმივია დამოუკიდებელი F და n -საგან ($n = 1, 2, \dots$) (ვარსკვლავისებური არეებისათვის (12) — ტრივიალურად შესრულებულია).

(12)-ის მხედველობაში მიღებით, ადვილად შეიძლება დამტკიცდეს, რომ მიმდევრობა $\varphi_n(x, y)$ აკმაყოფილებს (5) პირობას და, მაშასადამე, (10)-ის თანახმად, თეორემის ყველა მოთხოვნას.

მართლაც,

$$\begin{aligned} E(\varphi_n(\zeta)) &= E[\varphi_n(X_n(\xi, \eta), Y_n(\xi, \eta))] \\ &= c(\xi, \eta) u(X_n, Y_n) - c(X_n, Y_n) u(X_n, Y_n) |\Phi'_n(\zeta)|^2. \end{aligned}$$

$$(\zeta = \xi + i\eta, \quad \Phi_n(\zeta) = X_n(\xi, \eta) + iY_n(\xi, \eta));$$

აქედან

$$\iint_{D'_n} \omega(z, \zeta) E(\varphi_n(\zeta)) d\xi d\eta = \iint_{D'_n} \omega(z, \zeta) u(X_n, Y_n) c(\xi, \eta) d\xi d\eta$$

$$- \iint_{D'_n} \omega(\zeta, \zeta) c(X_n, Y_n) u(X_n, Y_n) |\Phi'_n(\zeta)|^2 d\xi d\eta \quad (13)$$

$$(\zeta = x + iy \in E, \quad \zeta = \xi + i\eta \in D'_n, \quad n = 1, 2, \dots).$$

ადელი შესამჩნევია, რომ (13) ტოლობის მარჯვენა მხარეში მდგომი პირველი შესაკრებები ჰქმნიან ინტეგრალების აბსოლუტურად თანაბარხარისხოვნად უწყვეტ ოჯახს ζ და n -ის მიმართ ($\zeta \in E, n = 1, 2, \dots$). ვაჩვენოთ, რომ მეორე შესაკრებების სიმრავლესაც იგივე თვისება გააჩნია.

მართლაც, ცნობილი უტოლობის თანახმად, გვაქვს:

$$\begin{aligned} & \left| \iint_{D'_n} \omega(\zeta, \zeta) u(X_n, Y_n) c(X_n, Y_n) |\Phi'_n(\zeta)|^2 d\xi d\eta \right|^2 \\ & \equiv \iint_{D'_n} |\Phi'_n(\zeta)|^4 d\xi d\eta \cdot \iint_{D'_n} |\omega(\zeta, \zeta) u(X_n, Y_n) c(X_n, Y_n)|^2 d\xi d\eta \\ & \equiv M_1 \cdot \iint_{D'_n} |\omega(\zeta, \zeta) u(X_n, Y_n) c(X_n, Y_n)|^2 d\xi d\eta, \end{aligned} \quad (14)$$

სადაც M_1 მუდმივია, დამოუკიდებელი ζ და n -საგან. მართლაც,

$$\begin{aligned} & \iint_{D'_n} |\Phi'_n(\zeta)|^4 d\xi d\eta = \iint_{D'_n} |\Phi'_n[\Phi_n^{-1}(\zeta)]|^2 dx dy \\ & \equiv \iint_G |\Phi'_n[\Phi_n^{-1}(\zeta)]|^2 dx dy = \lim_{m \rightarrow \infty} \sum_{i,j=1}^m |\Phi'_n[\Phi_n^{-1}(\zeta_{ij})]|^2 \Delta x_i \Delta y_j \\ & = \lim_{m \rightarrow \infty} \sum_{i,j=1}^m |\Phi'_n[\Phi_n^{-1}(\zeta_{ij})]|^2 \iint_{F_{ij}} |\Phi'_n(\zeta)|^2 d\xi d\eta \\ & \equiv M \lim_{m \rightarrow \infty} \sum_{i,j=1}^m |\Phi'_n[\Phi_n^{-1}(\zeta_{ij})]|^2 \text{mes } F_{ij} \equiv M \iint_{D'_n} |\Phi'_n(\zeta)|^2 d\xi d\eta < M_1. \end{aligned}$$

ცხადია, (14) უტოლობის მარჯვენა მხარე წარმოადგენს ინტეგრალების აბსოლუტურად თანაბარხარისხოვნად უწყვეტ ოჯახს. მაშასადამე, აბსოლუტურად თანაბარხარისხოვნად უწყვეტ ოჯახს ჰქმნის ინტეგრალების შემდეგი სიმრავლეც

$$\iint_G \omega(\zeta, \zeta) E(\varphi_n(\zeta)) d\xi d\eta, \quad \zeta \in E, \quad \zeta = \xi + i\eta \in G.$$

თუ ახლა მხედველობაში მივიღებთ ცხად ტოლობას

$$\lim_{n \rightarrow \infty} E(\varphi_n(\xi, \eta)) = 0,$$



სადაც კრებადობა თანაბარია G სიმრავლის ყოველ ჩაკეტილ ქვესიმრავლეზე.
გვაქვს

$$\lim_{n \rightarrow \infty} \iint_G \omega(z, \zeta) E(\varphi_n(\zeta)) d\zeta d\eta = 0, \quad \zeta = \xi + i\eta \in G,$$

თანაბრად $z = x + iy \in E$ მიმართ, რაც უნდა გვეჩვენებინა.

საქართველოს სსრ მეცნიერებათა აკადემია

ა. რაზმაძის სახელობის

თბილისის მათემატიკის ინსტიტუტი

(რედაქციას მოუვიდა 27.11.1951)

დამოწმებული ლიტერატურა

1. И. Н. Векуа. Новые методы решения эллиптических уравнений. М.—Л., 1948.
2. С. Н. Мергелян. О представлении функций рядами полиномов на замкнутых множествах. ДАН СССР, т. LXXV, № 3, 1951.
3. С. Н. Мергелян. О теореме М. А. Лаврентьева. ДАН СССР, т. LXXVII, № 4, 1951.
4. М. Б. Гагуа. Об аппроксимации непрерывных функций специальными решениями эллиптических дифференциальных уравнений. Сообщения АН Груз. ССР, т. XI, № 4, 1950.
5. М. В. Келдыш. О разрешимости и устойчивости задачи Дирихле. Успехи мат. наук, выпуск VIII, 1941.
6. В. К. Карабегов. О разрешимости и устойчивости задачи Дирихле для линейных уравнений эллиптического типа. Автореферат диссертации на соискание ученой степени кандидата ф.-м. наук, 1950.
7. I. L. Walsch. Über die Entwicklung einer analytischen Function nach Polynomen. Mathematische Annalen. Band 36, pp 412—436, 1926.



მათემატიკა

ბენეშვიძე

ორმაგი რიცხვითი მწკრივების მძლავრი შეჯამება

(წარმოადგინა აკადემიის ნამდვილმა წევრმა ვ. კუპრაძემ 13.11.1951)

ორმაგი მწკრივების შეჯამებადობებთან დაკავშირებული საკითხები განხილულია ვლ. ჰელიძის შრომებში [1,2,3,4,5], რომლებშიც ავტორმა მეტად საინტერესო შედეგები მიიღო. წინამდებარე შრომის მიზანია ზოგიერთი აღნიშნული შედეგის გავრცელება ორმაგი რიცხვითი მწკრივების ე. წ. მძლავრი მეთოდით შეჯამებადობის შემთხვევისათვის.

ვთქვათ, მოცემულია ორმაგი რიცხვითი მწკრივი

$$\sum_{i=0}^{\infty} \sum_{k=0}^{\infty} a_{i,k} \quad (1)$$

აღნიშნოთ

$$S_{m,n} = \sum_{i=0}^m \sum_{k=0}^n a_{i,k}$$

ვთქვათ, p ნებისმიერი დადებითი რიცხვია. ჩვენ ვიტყვით, რომ ორმაგი მწკრივი (1) H_p შეჯამებადია S ჯანისაკენ, თუ

$$\lim_{m,n \rightarrow \infty} \sigma_{m,n}^p = 0,$$

სადაც

$$\sigma_{m,n}^p = \frac{1}{(m+1)(n+1)} \sum_{i=0}^m \sum_{k=0}^n |S_{i,k} - S|^p.$$

ჩვენ ვიტყვით, რომ ორმაგი (1) მწკრივი $H_p^{(\lambda)}$ შეჯამებადია S ჯანისაკენ, თუ

$$\lim_{(m,n) \rightarrow \infty} \sigma_{m,n}^p = 0,$$

ე. ი. ყოველი დადებითი ε რიცხვისათვის არსებობს ისეთი ნატურალური N რიცხვი, რომ

$$|\sigma_{m,n}^p - S| < \varepsilon, \text{ როცა } m > N, n > N, \frac{1}{\lambda} \equiv \frac{m}{n} \equiv \lambda,$$

სადაც λ მოცემული რიცხვია $\equiv 1$.

თეორემა 1. თუ ორმაგი (1) მწკრივი $H_p (H_p^{(\lambda)})$ შეჯამებადია S ჯანისაკენ, მაშინ აღებულ მწკრივი $H_q (H_q^{(\lambda)})$ შეჯამებადია იმავე ჯანისაკენ ნებისმიერი q -სათვის, რომელიც $< p$.

დამტკიცება. ვთქვათ, ε მოცემული დადებითი რიცხვია. ავიღოთ ისეთი $\delta > 0$, რომ $\delta^p + 2\delta^q \equiv \varepsilon$. რადგან ორმაგი (1) მწკრივი $H_p(H_p^{(n)})$ შეჯამებადი S ჯამისაკენ, მოიძებნება ისეთი ნატურალური N რიცხვი, რომ

$$\frac{1}{(m+1)(n+1)} \sum_{i=0}^m \sum_{k=0}^n |S_{i,k} - S|^p < \delta^p,$$

$$\text{როცა } m > N, n > N \left(\frac{1}{\lambda} \equiv \frac{m}{n} \equiv \lambda \right). \quad (2)$$

(m, n) წყვილთა სიმრავლე გავყოთ სამ A, B, C ქვესიმრავლედ შემდეგი წესით:

$$(m, n) \in A, \text{ თუ } |S_{m,n} - S| \geq 1,$$

$$(m, n) \in B, \text{ თუ } 1 > |S_{m,n} - S| > \delta,$$

$$(m, n) \in C, \text{ თუ } |S_{m,n} - S| \leq \delta.$$

რადგანაც ეს სიმრავლეები წყვილ-წყვილად არ იკვეთება⁽¹⁾, შეგვიძლია დავწეროთ:

$$\begin{aligned} \sigma_{m,n}^q &= \frac{1}{(m+1)(n+1)} \left\{ \sum_{(i,k) \in A} |S_{i,k} - S|^q + \sum_{(i,k) \in B} |S_{i,k} - S|^q \right. \\ &\quad \left. + \sum_{(i,k) \in C} |S_{i,k} - S|^q \right\} < \frac{1}{(m+1)(n+1)} \left\{ \sum_{(i,k) \in A} |S_{i,k} - S|^p \right. \\ &\quad \left. + \sum_{(i,k) \in B} \frac{1}{|S_{i,k} - S|^{p-q}} |S_{i,k} - S|^p + \delta^q (m+1)(n+1) \right\} < \sigma_{m,n}^p \\ &\quad + \frac{1}{\delta^{p-q}} \sigma_{m,n}^p + \delta^q. \end{aligned}$$

ავიღოთ ახლა $m > N, n > N \left(\frac{1}{\lambda} \equiv \frac{m}{n} \equiv \lambda \right)$. თანახმად (2) უტოლობისა, მივიღებთ

$$\sigma_{m,n}^q < \delta^p + 2\delta^q \equiv \varepsilon,$$

ქ. ი.

$$\lim_{m,n \rightarrow \infty} \sigma_{m,n}^q = 0. \quad (3)$$

თეორემა დამტკიცებულია.

აღვლილი დასამტკიცებელია შემდეგი

თეორემა 2. თუ ორმაგი (1) მწკრივი $H_q(H_q^{(n)})$ შეჯამებადი S ჯამისაკენ და ამ მწკრივის კერძო ჯამები $S_{m,n}$ შემოსახლდურულია, მაშინ აღებულ მწკრივი $H_p(H_p^{(n)})$ შეჯამებადი იმავი ჯამისაკენ ნებისმიერი p -სათვის, რომელიც $> q$.

(1) რომელიმე ამ სიმრავლეთაგან შეიძლება ცარიელიც იყოს.

(2) λ — შეჯამებალობის შემთხვევაში $\lim_{(m,n) \rightarrow \infty} \sigma_{m,n}^q = 0$.

შეენიშნოთ, რომ თუ მწკრივის კერძო ჯამები არაა შემოსაზღვრული, თეორემა 2 შეიძლება სამართლიანი არ იყოს.

მართლაც, ვთქვათ,

$$a_{i,k} = \begin{cases} (k+1)^{\frac{\alpha}{q}} - k^{\frac{\alpha}{q}}, & \text{თუ } i=0, k=0, 1, \dots, \\ k^{\frac{\alpha}{q}} - (k+1)^{\frac{\alpha}{q}}, & \text{თუ } i=1, k=0, 1, \dots, \\ 0, & \text{თუ } i>1, k=0, 1, \dots, \end{cases}$$

სადაც α და q დადებითი რიცხვებია და, ამას გარდა, $\alpha < 1$.
ცხადია, რომ

$$S_{m,n} = \begin{cases} (n+1)^{\frac{\alpha}{q}}, & \text{თუ } m=0, n=0, 1, \dots, \\ 0, & \text{თუ } m>1, n=0, 1, \dots \end{cases}$$

აქედან ჩანს, რომ აღებული მწკრივი კრებადია და მისი ჯამი $S=0$.
ადვილი შესამოწმებელია აგრეთვე, რომ ეს მწკრივი $H_p^{(\lambda)}$ შეჯამებადია 0 -სა-
კენ. ამავე დროს იგი არაა $H_p^{(\lambda)}$ შეჯამებადი არც ერთი S -საკენ, თუკი $p > q$,
ხოლო $\alpha \equiv \frac{q}{p}$.

მართლაც,

$$\sigma_{m,n}^p = \frac{1}{(m+1)(n+1)} \left\{ \sum_{k=0}^n |(k+1)^{\frac{\alpha}{q}} - S|^p + m(n+1) |S|^p \right\}$$

და, თუ $S \neq 0$, გვექნება

$$\sigma_{m,n}^p > \frac{m}{m+1} |S|^p;$$

თუკი $S = 0$:

$$\begin{aligned} \sigma_{m,n}^p &= \frac{1}{(m+1)(n+1)} \sum_{k=0}^n (k+1)^{\frac{\alpha p}{q}} \equiv \frac{1}{(m+1)(n+1)} \sum_{k=0}^n (k+1) \\ &= \frac{n+2}{2(m+1)} > \frac{1}{2\lambda}. \end{aligned}$$

ამრიგად, ორივე შემთხვევაში

$$\lim_{(m,n) \rightarrow \infty} \sigma_{m,n}^p > 0,$$

ე. ი. აღებული მწკრივი არაა $H_p^{(\lambda)}$ შეჯამებადი⁽¹⁾.

თეორემა 3. თუ ორმაგი მწკრივი (1) კრებადია და ჯამად S
რიცხვი აქვს ამასთან ამ მწკრივის კერძო ჯამები აკმაყოფი-
ლებს პირობებს

$$\lim_{m \rightarrow \infty} \frac{S_{m,n}}{(m+1)^{\frac{1}{p}}} = 0 \quad \text{ფიქსირებული } n\text{-სათვის,} \quad (3)$$

⁽¹⁾ დამტკიცებული თეორემები და მოყვანილი მაგალითი გვიჩვენებს, რომ შესწავლისა-
თვის საინტერესოა მცირე p -ს შემთხვევა.

$$\lim_{n \rightarrow \infty} \frac{S_{m, n}}{(n+1)^p} = 0 \quad \text{ფიქსირებული } m\text{-სათვის,} \quad (4)$$

მაშინ აღებულ მწკრივი $H_p^{(k)}$ შეჯამებადია S რიცხვისაკენ ნებისმიერი λ -სათვის, რომელიც $\equiv 1$.

დამტკიცება. რადგანაც ორმაგი მწკრივი (1) კრებადია და ჯამად S რიცხვი აქვს, ამიტომ ნებისმიერი დადებითი ε რიცხვისათვის მოიძებნება ისეთი ნატურალური N_1 რიცხვი, რომ

$$|S_{i, k} - S|^p < \frac{\varepsilon}{4}, \quad \text{როცა } i > N_1, \quad k > N_1. \quad (5)$$

შემდეგ, (3) და (4) პირობების ძალით მოიძებნება ისეთი ნატურალური რიცხვი $N_2 < N_1$, რომ

$$|S_{i, k} - S|^p < \frac{\varepsilon(i+1)}{4\lambda(N_1+1)}, \quad \text{როცა } i > N_2, \quad 0 \leq k \leq N_1, \quad (6)$$

$$|S_{i, k} - S|^p < \frac{\varepsilon(k+1)}{4\lambda(N_1+1)}, \quad \text{როცა } k > N_2, \quad 0 \leq i \leq N_1. \quad (7)$$

ბოლოს, რადგანაც N_2 რიცხვი ფიქსირებულია, მოიძებნება ისეთი ნატურალური რიცხვი $N > N_2$, რომ

$$\frac{1}{(m+1)(n+1)} \sum_{i=0}^{N_2} \sum_{k=0}^{N_2} |S_{i, k} - S|^p < \frac{\varepsilon}{4}, \quad \text{როცა } m > N, \quad n > N. \quad (8)$$

აეილოთ ახლა მთელი დადებითი რიცხვები m და n ისე, რომ $m > N$, $n > N$, $\frac{1}{\lambda} \equiv \frac{m}{n} \equiv \lambda$, სადაც λ მოცემული რიცხვია $\equiv 1$.

რადგანაც

$$\sigma_{m, n}^p = \frac{1}{(m+1)(n+1)} \sum_{i=0}^m \sum_{k=0}^n |S_{i, k} - S|^p \equiv \frac{1}{(m+1)(n+1)} \left\{ \sum_{i=0}^{N_2} \sum_{k=0}^{N_2} \right. \\ \left. + \sum_{i=N_2+1}^m \sum_{k=0}^{N_1} + \sum_{i=0}^{N_1} \sum_{k=N_2+1}^n + \sum_{i=N_2+1}^m \sum_{k=N_2+1}^n \right\},$$

(5)–(8) უტოლობათა ძალით ადვილად მივიღებთ

$$\sigma_{m, n}^p < \frac{\varepsilon}{4} + \frac{\varepsilon(m+1)(N_1+1)(m-N_2)}{4\lambda(N_1+1)(m+1)(n+1)} + \frac{\varepsilon(n+1)(N_1+1)(n-N_2)}{4\lambda(N_1+1)(m+1)(n+1)} \\ + \frac{\varepsilon(m-N_1)(n-N_1)}{4(m+1)(n+1)} < \varepsilon,$$

როცა

$$m > N, \quad n > N, \quad \frac{1}{\lambda} \equiv \frac{m}{n} \equiv \lambda.$$

ამრიგად,

$$\lim_{(m, n) \rightarrow \infty} \sigma_{m, n}^p = 0.$$

თეორემა დამტკიცებულია.

შედგვი. თუ ორმაგი მწკრივი (1) კრებადია და ჯამად S რიცხვი აქვს და, ამას გარდა,

$$\lim_{m+n \rightarrow \infty} (m+1)^{1-\frac{1}{p}} a_{m,n} = 0, \quad (9)$$

$$\lim_{m+n \rightarrow \infty} (n+1)^{1-\frac{1}{p}} a_{m,n} = 0, \quad (10)$$

მაშინ აღებული ორმაგი მწკრივი $H_p^{(\lambda)}$ შეჯამებადია S ჯამისაკენ ყოველი p -სათვის, რომელიც $\equiv 1$ და ნებისმიერი λ -სათვის, რომელიც $\equiv 1$.

მართლაც, გვაქვს:

$$\frac{S_{m,n}}{(m+1)^{\frac{1}{p}}} = (m+1)^{1-\frac{1}{p}} \sum_{k=0}^n \left(\frac{1}{m+1} \sum_{i=0}^m a_{i,k} \right).$$

დავაფიქსიროთ n . რადგან $p \equiv 1$, (9) ტოლობის თანახმად მივიღებთ:

$$\begin{aligned} \lim_{m \rightarrow \infty} \frac{S_{m,n}}{(m+1)^{\frac{1}{p}}} &= \sum_{k=0}^n \lim_{m \rightarrow \infty} (m+1)^{1-\frac{1}{p}} \lim_{m \rightarrow \infty} \left(\frac{1}{m+1} \sum_{i=0}^m a_{i,k} \right) \\ &= \sum_{k=0}^n \lim_{m \rightarrow \infty} (m+1)^{1-\frac{1}{p}} \lim_{m \rightarrow \infty} a_{m,k} = 0. \end{aligned}$$

მაშასადამე, შესრულებულია თეორემის (3) პირობა. ასევე ვაჩვენებთ, რომ შესრულებულია (4) პირობა. ამრიგად, აღებული მწკრივი $H_p^{(\lambda)}$ შეჯამებადია S ჯამისაკენ, თუ $p \equiv 1$, ნებისმიერი λ -სათვის, რომელიც $\equiv 1$.

თუ (3) და (4) პირობებიდან ერთი მაინც არაა დაკუთლი, თეორემა 3 შეიძლება სამართლიანი არ იყოს. მართლაც, თუ ორმაგი მწკრივის ზემოთ მოყვანილ მაგალითში ავიღებთ $q=1, \alpha=\frac{1}{p}$, მივიღებთ კრებად ორმაგ მწკრივს, რომელიც არაა $H_p^{(\lambda)}$ შეჯამებადი. ამის მიზეზი ისაა, რომ არაა შესრულებული (4) პირობა.

(3) და (4) პირობების შესრულება, საზოგადოდ, არ უზრუნველყოფს კრებადი ორმაგი მწკრივის H_p შეჯამებადობას.

მართლაც, ავიღოთ მწკრივი, რომლის წევრები შემდეგნაირადაა განსაზღვრული:

$$a_{i,k} = \begin{cases} (k+1)^{\frac{1}{2p}} - k^{\frac{1}{2p}}, & \text{თუ } i=0, k=0, 1, \dots, \\ k^{\frac{1}{2p}} - (k+1)^{\frac{1}{2p}}, & \text{თუ } i=1, k=0, 1, \dots, \\ 0, & \text{თუ } i>1, k=0, 1, \dots \end{cases}$$

1625



ეს მწკრივი კრებადია და მისი ჯამი $S=0$. ადვილი შესამოწმებელია აგრეთვე, რომ ამ მწკრივის კერძო ჯამები აკმაყოფილებს (3) და (4) პირობებს; მიუხედავად ამისა, აღებული მწკრივი არაა H_p შეჯამებადი არაერთი არაა მისაკენ.

შეენიშნოთ აგრეთვე, რომ არსებობს განზღადი ორმაგი მწკრივები, რომლებიც H_p შეჯამებადია ნებისმიერი p -სათვის.

მართლაც, ვთქვათ,

$$a_{ik} = \begin{cases} 1, & \text{თუ } i = 2^l \ (l = 1, 2, \dots), \ k = 0, \\ -1, & \text{თუ } i = 2^l + 1 \ (l = 1, 2, \dots), \ k = 0, \\ 0 & \text{სხვა შემთხვევაში.} \end{cases}$$

ცხადია, რომ

$$S_{m,n} = \begin{cases} 1, & \text{თუ } m = 2^l, \ n = 0, 1, \dots, \\ 0, & \text{თუ } m \neq 2^l, \ n = 0, 1, \dots \end{cases}$$

აქედან ჩანს, რომ არ არსებობს $\lim_{m, n \rightarrow \infty} S_{m,n}$ ე. ი. მწკრივი განზღადია;

ამავე დროს იგი H_p შეჯამებადია $S = 0$ -საკენ ნებისმიერი p -სათვის.

მართლაც, გვაქვს ($m > 1$):

$$\sigma_{m,n}^p = \frac{1}{(m+1)(n+1)} \sum_{l=0}^m \sum_{k=0}^n |S_{2^l+k}|^p,$$

სადაც მთელი რიცხვი μ განისაზღვრება უტოლობიდან $2^\mu \equiv m < 2^{\mu+1}$.

ცხადია, რომ

$$\sigma_{m,n}^p \equiv \frac{1}{(m+1)(n+1)} (n+1) \frac{\ln m}{\ln 2} = \frac{1}{m+1} \cdot \frac{\ln m}{\ln 2},$$

საიდანაც

$$\lim_{m, n \rightarrow \infty} \sigma_{m,n}^p = 0.$$

ამრიგად, H_p შეჯამებადობის (აგრეთვე $H_p^{(k)}$ შეჯამებადობის) და კრებადობის პროცესები ორმაგი მწკრივების შემთხვევაში არ შეიძლება შედარებულ იქნეს ერთმანეთთან.

ს. კიროვის სახელობის

საქართველოს პოლიტექნიკური ინსტიტუტის
თბილისი

(რედაქციას მთუვიდა 15.11.1951)

დავოწმებული ლიტერატურა

1. В. Г. Челидзе. Об одной теореме о двойном степенном ряде. ДАН СССР, т. LIII, № 8, 1946.
2. В. Г. Челидзе. Чезаровское суммирование двойных числовых рядов. Сообщения АН ГССР, т. VIII, № 3, 1947.
3. В. Г. Челидзе. Взаимотношение между Чезаровскими и Абелевскими суммированиями двойных рядов. Сообщения АН ГССР, т. VIII, № 6, 1947.
4. ვ. ბენდუქიძე. ორმაგი მწკრივების შეჯამებადობა. თბილისის მათემატიკის ინსტიტუტის შრომები, ტ. XVI, 1948.
5. В. Г. Челидзе. О преобразовании двойных последовательностей. Труды Тбилисского математического института, т. XVII, 1949.



ბ. ხატიავშილი

შედგენილი ცილინდრული ძელის დეფორმაციის საკითხისათვის
დატვირთული ბმირდითი ზედაპირის შემთხვევაში

(წარმოადგინა აკადემიის ნამდვილმა წევრმა ე. კუპრაძემ 7.2.1952)

1. ერთგვაროვანი პრინმატული ძელის დეფორმაციის ამოცანა, როდესაც ძელის ქვედა ფუძე დამაგრებულია, ზედა ფუძე თავისუფალია ძალებებისაგან, ხოლო გვერდით ზედაპირზე მოქმედებენ ძალები, რომელთა მდგენელები საკოორდინატო ღერძებზე არ არიან დამოკიდებული z -ზე, ამოხსნილი იყო სხვადასხვა ავტორის მიერ [3, 4].

აღნიშნული ამოცანა სხვადასხვა მასალისაგან შედგენილი ძელისათვის, როდესაც პუასონის კოეფიციენტი ყველა ძელისათვის ერთი და იგივეა, ამოხსნილია წინამდებარე შრომაში.

2. ამოცანის დასმა: ვთქვათ, გვაქვს სხეული, შედგენილი რიგი პარალელური ძელებისაგან, რომლებიც ერთმანეთს არ ეხებიან და შემოსაზღვრული არიან ცილინდრული ზედაპირით, სივრცე ცილინდრულ ზედაპირსა და ძელებს შორის ავსებულია დრეკადი გარემოთი; ცილინდრის მსახველებიც ძელების პარალელურია.

ასეთი ძელის xy სიბრტყით კვეთა შედგება S_j ($j = 1, 2, \dots, m$) არეებისაგან, რომლებიც შეესაბამებიან ძელებს და S_0 არისაგან, რომელიც შეესაბამება შემოსაზღვრულ გარემოს; თუ L_j -ით აღვნიშნავთ S_j არეთა საზღვრებს, მაშინ S_0 არის საზღვარი იქნება L_1, L_2, \dots, L_{m+1} , რომელთაგან უკანასკნელი შეიცავს ყველა დანარჩენს.

ქვევით ყველგან ნაგულისხმევია, რომ L_j ($j = 1, 2, \dots, m+1$) კონტურებზე შემოვლა ხდება საათის ისრის საწინააღმდეგოდ, ამასთანავე n ნორმალთა ყოველთვის მარჯვნივაა მიმართული.

კოორდინატთა სათავე მოვათავსოთ ქვედა ფუძის ინერციის მიყვანილ ცენტრში, ox და oy ღერძები მივმართოთ ინერციის მიყვანილი მთავარი ღერძების გასწვრივ, oz ღერძი კი ცილინდრის მსახველის პარალელურად [1], ძელზე მოქმედი მოცულობითი ძალები მივიჩნიოთ ნულის ტოლად.

$\lambda_j, \mu_j, E_j, \sigma_j$ -ით ($j = 1, 2, \dots, m$) აღვნიშნოთ ძელების შესაბამისი დრეკადი მუდმივები, ხოლო $\lambda_0, \mu_0, E_0, \sigma_0$ -ით — შემოსაზღვრული გარემოსი; მივიღოთ, რომ $\sigma_j = \sigma_0 = \sigma$ ($j = 1, 2, \dots, m$).

დავუშვათ, რომ შედგენილი ძელის ქვედა ფუძე დამაგრებულია, ზედა ფუძე თავისუფალია ძალებებისაგან, ხოლო გვერდით ზედაპირზე მოქმედი ძალები

ვეების მდგენელები საკოორდინატო ღერძებზე შესაბამისად არიან $\tau_1(x, y)$, $\tau_2(x, y)$ და $\tau_3(x, y)$; ამასთანავე ვივარაუდოთ, რომ გადაადგილების u , v , w კომპონენტები უწყვეტი რჩებიან ერთი არედან მეორეში გადასვლისას, ხოლო გამყოფი ზედაპირის ელემენტებზე მოქმედი ძალები სიდიდით ტოლნი არიან და ნიშნით საწინააღმდეგო.

განსახილველი ამოცანა მათემატიკურად ასე ჩამოყალიბდება: ვიპოვოთ ძაბვის τ_{11} , τ_{12} , ..., τ_{23} კომპონენტები, რომლებიც სხეულის მიერ დაკავებულ მთელ არეში აკმაყოფილებენ წონასწორობის ერთგვაროვან განტოლებებს

$$\begin{aligned} \frac{\partial \tau_{11}}{\partial x} + \frac{\partial \tau_{12}}{\partial y} + \frac{\partial \tau_{13}}{\partial z} &= 0, \\ \frac{\partial \tau_{21}}{\partial x} + \frac{\partial \tau_{22}}{\partial y} + \frac{\partial \tau_{23}}{\partial z} &= 0, \\ \frac{\partial \tau_{31}}{\partial x} + \frac{\partial \tau_{32}}{\partial y} + \frac{\partial \tau_{33}}{\partial z} &= 0 \end{aligned} \quad (1)$$

და თავსებადობის ერთგვაროვან პირობებს

$$\begin{aligned} \Delta \tau_{11} + \frac{1}{1+\sigma} \frac{\partial^2 T}{\partial x^2} &= 0, & \Delta \tau_{12} + \frac{1}{1+\sigma} \frac{\partial^2 T}{\partial x \partial y} &= 0, \\ \Delta \tau_{22} + \frac{1}{1+\sigma} \frac{\partial^2 T}{\partial y^2} &= 0, & \Delta \tau_{13} + \frac{1}{1+\sigma} \frac{\partial^2 T}{\partial x \partial z} &= 0, \\ \Delta \tau_{23} + \frac{1}{1+\sigma} \frac{\partial^2 T}{\partial z^2} &= 0, & \Delta \tau_{23} + \frac{1}{1+\sigma} \frac{\partial^2 T}{\partial y \partial z} &= 0, \end{aligned} \quad (2)$$

სადაც

$$T = \tau_{11} + \tau_{22} + \tau_{33} \quad \text{და} \quad \Delta = \frac{\partial^2}{\partial x^2} + \frac{\partial^2}{\partial y^2} + \frac{\partial^2}{\partial z^2}.$$

ამასთანავე, საძიებელი ძაბვის კომპონენტები უნდა აკმაყოფილებდნენ შემდეგ სასაზღვრო პირობებს

$$\begin{aligned} \tau_{11} \cos nx + \tau_{12} \cos ny &= \tau_1, \\ \tau_{21} \cos nx + \tau_{22} \cos ny &= \tau_2, \\ \tau_{31} \cos nx + \tau_{32} \cos ny &= \tau_3 \end{aligned} \quad (3)$$

გარე ზედაპირზე, ხოლო

$$\begin{aligned} [\tau_{11} \cos nx + \tau_{12} \cos ny]_j &= [\tau_{11} \cos nx + \tau_{12} \cos ny]_0, \\ [\tau_{21} \cos nx + \tau_{22} \cos ny]_j &= [\tau_{21} \cos nx + \tau_{22} \cos ny]_0, \quad (j=1, 2, \dots, m) \\ [\tau_{31} \cos nx + \tau_{32} \cos ny]_j &= [\tau_{31} \cos nx + \tau_{32} \cos ny]_0 \end{aligned} \quad (4)$$

გამყოფ ზედაპირებზე, სადაც j და 0 არეთა ნომრებს აღნიშნავენ. აგრეთვე, გამყოფ ზედაპირებზე გადაადგილების კომპონენტებისათვის გვექნება:

$$u_j = u_0, \quad v_j = v_0 \quad \text{და} \quad w_j = w_0 \quad (j=1, 2, \dots, m). \quad (5)$$

3. დასმული ამოცანის ამოხსნა ვეძებთ შემდეგი სახით:

$$\tau_{11} = E_j \left[\frac{\partial^2 \Phi}{\partial y^2} - (aF + bf) - b \left(\frac{\sigma}{1+\sigma} \gamma^2 x - \frac{1}{3} x^3 \right) \right],$$

$$\begin{aligned} \tau_{22} &= E_j \left[\frac{\partial^2 \Phi}{\partial x^2} - (aF + bf) - a \left(\frac{\sigma}{1+\sigma} x^2 y - \frac{1}{3} y^3 \right) \right], \\ \tau_{33} &= E_j \left[\sigma \Delta \Phi + 2(aF + bf) + a \left(\frac{\sigma}{1+\sigma} x^2 y - \frac{1}{3} y^3 \right) + b \left(\frac{\sigma}{1+\sigma} y^2 x - \frac{1}{3} x^3 \right) + a \left(y \chi^2 - \frac{1}{3} y^3 \right) + b \left(x \chi^2 - \frac{1}{3} x^3 \right) - 2c\chi \right], \quad (j = 0, 1, \dots, m) \\ \tau_{12} &= -E_j \frac{\partial^2 \Phi}{\partial x \partial y}, \\ \tau_{13} &= E_j \left[\chi \left(a \frac{\partial F}{\partial x} + b \frac{\partial f}{\partial x} \right) + \chi \left(\frac{\sigma}{1+\sigma} y^2 - x^2 \right) b + \frac{\partial \omega}{\partial x} + cx \right], \quad (6) \\ \tau_{23} &= E_j \left[\chi \left(a \frac{\partial F}{\partial y} + b \frac{\partial f}{\partial y} \right) + \chi \left(\frac{\sigma}{1+\sigma} x^2 - y^2 \right) a + \frac{\partial \omega}{\partial y} + cy \right]. \end{aligned}$$

ადვილი შესამოწმებელია, რომ ძაბვის (6) კომპონენტები აკმაყოფილებენ წონასწორობის (1) განტოლებებს, თავსებადობის (2) პირობებს და აგრეთვე სასაზღვრო (3) და (4) პირობებს, თუ $F(x, y)$, $f(x, y)$, $\omega(x, y)$ და $\Phi(x, y)$ ფუნქციები განსაზღვრულია შემდეგნაირად:

$$\Delta F = 0, \quad \Delta f = 0, \quad \Delta \omega = 0, \quad \Delta \Delta \Phi = 0 \quad S_j \text{ არეში, } (j = 0, 1, 2, \dots, m)$$

$$\frac{dF}{dn} = \left(y^2 - \frac{\sigma}{1+\sigma} x^2 \right) \cos ny,$$

$$\frac{df}{dn} = \left(x^2 - \frac{\sigma}{1+\sigma} y^2 \right) \cos nx,$$

$$E_0 \frac{d\omega}{dn} = -cE_0 (x \cos nx + y \cos ny) + \tau_3,$$

$$\begin{aligned} E_0 \left(\frac{\partial \Phi}{\partial x} + i \frac{\partial \Phi}{\partial y} \right) &= i \int_{L_{m+1}} (\tau_1 + i\tau_2) ds + iE_0 \int_{L_{m+1}} (aF + bf) (\cos nx + i \cos ny) ds \\ &+ iE_0 b \int_{L_{m+1}} \left(\frac{\sigma}{1+\sigma} y^2 x - \frac{1}{3} x^3 \right) \cos nx ds - E_0 a \int_{L_{m+1}} \left(\frac{\sigma}{1+\sigma} x^2 y - \frac{1}{3} y^3 \right) \cos ny ds, \end{aligned}$$

L_{m+1} კონტურზე;

$$E_j \left(\frac{dF}{dn} \right)_j - E_0 \left(\frac{dF}{dn} \right)_0 = (E_j - E_0) \left(y^2 - \frac{\sigma}{1+\sigma} x^2 \right) \cos ny,$$

$$E_j \left(\frac{df}{dn} \right)_j - E_0 \left(\frac{df}{dn} \right)_0 = (E_j - E_0) \left(x^2 - \frac{\sigma}{1+\sigma} y^2 \right) \cos nx,$$

$$E_j \left(\frac{d\omega}{dn} \right)_j - E_0 \left(\frac{d\omega}{dn} \right)_0 = -c(E_j - E_0) (x \cos nx + y \cos ny),$$

$$E_j \left(\frac{\partial \Phi}{\partial x} + i \frac{\partial \Phi}{\partial y} \right)_j - E_0 \left(\frac{\partial \Phi}{\partial x} + i \frac{\partial \Phi}{\partial y} \right)_0 = i \int_{L_j} [E_j (aF + bf)_j - E_0 (aF + bf)_0] (\cos nx + i \cos ny) ds$$

$$- E_0 (aF + bf)_0] (\cos nx + i \cos ny) ds$$

$$+ ib(E_j - E_0) \int_{L_j} \left(\frac{\sigma}{1+\sigma} y^2 x - \frac{1}{3} x^3 \right) \cos nx \, ds$$

$$- a(E_j - E_0) \int_{L_j} \left(\frac{\sigma}{1+\sigma} x^2 y - \frac{1}{3} y^3 \right) \cos ny \, ds.$$

L_j კონტურებზე ($j = 1, 2, \dots, m$).
 თუ ვისარგებლებთ ტოლობებით

$$\sum_{j=0}^m E_j \iint_{S_j} x dx dy = 0, \quad \sum_{j=0}^m E_j \iint_{S_j} y dx dy = 0 \quad \text{და} \quad \sum_{j=0}^m E_j \iint_{S_j} xy dx dy = 0, \quad (7)$$

აღვიდავ დაერწმუნდებით, რომ F და f ფუნქციების არსებობის აუცილებელი და საკმარისი პირობები დატული იქნება; რაც შეეხება a ფუნქციას, მისი არსებობის აუცილებელი და საკმარისი პირობა გვაძლევს

$$c = \frac{\oint \tau_3 ds}{2 S_E}, \quad (18)$$

სადაც

$$S_E = \sum_{j=0}^m S_j E_j.$$

როგორც ცნობილია [1],

$$\frac{\partial \Phi_j}{\partial x} + i \frac{\partial \Phi_j'}{\partial y} = \varphi_j(\zeta) + \overline{\zeta \varphi_j'(\zeta)} + \overline{\psi_j(\zeta)}, \quad (9)$$

სადაც $\zeta = x + iy$, $\varphi_j(\zeta)$ და $\psi_j(\zeta)$ ცალსახა ანალიზური ფუნქციებია S_j ($j = 1, 2, \dots, m$) არეში, ხოლო S_0 არეში $\varphi_0(x)$ და $\psi_0(x)$ ფუნქციებს შემდეგი სახე აქვთ:

$$\varphi_0(\zeta) = \sum_{j=1}^m \gamma_j \ln(\zeta - \zeta_j) + \varphi^*(\zeta),$$

$$\psi_0(\zeta) = \sum_{j=1}^m \gamma_j' \ln(\zeta - \zeta_j) + \psi^*(\zeta).$$

აქ ζ_j წერტილები აღებულია L_j ($j = 1, 2, \dots, m$) კონტურების შიგნით, $\gamma_j = \alpha_j + i\beta_j$ და $\gamma_j' = \alpha_j' + i\beta_j'$ ($j = 1, 2, \dots, m$), ხოლო $\varphi^*(\zeta)$ და $\psi^*(\zeta)$ ცალსახა ანალიზური ფუნქციებია S_0 არეში.

მივიღებთ რა მხედველობაში (9) და (10) ტოლობებს, Φ ფუნქციის კერძო წარმოებულთა სხვაობის ცალსახობა L_j ($j = 1, 2, \dots, m$) კონტურებზე გვაძლევს:

$$2\pi i(\gamma_j - \overline{\gamma_j'}) E_0 = i \oint_{L_j} [E_j(aF + bf)_j - E_0(aF + bf)_0] (\cos nx - i \cos ny) \, ds$$

$$\begin{aligned}
 & -ib(E_j - E_0) \oint_{L_{m+1}} \left(\frac{\sigma}{1+\sigma} y^2 x - \frac{1}{3} x^3 \right) \cos nx \\
 & + a(E_j - E_0) \oint_{L_j} \left(\frac{\sigma}{1+\sigma} x^2 y - \frac{1}{3} y^3 \right) \cos ny ds. \quad (11)
 \end{aligned}$$

ხოლო Φ ფუნქციის კერძო წარმოებულთა ცალსახობა L_{m+1} კონტურზე იძლევა

$$\begin{aligned}
 E_0 \sum_{j=0}^m 2\pi i (\gamma_j - \bar{\gamma}'_j) &= i \oint_{L_{m+1}} (\tau_1 + i\tau_2) ds + iE_0 \oint_{L_{m+1}} (aF + bf)_0 (\cos nx + i \cos ny) ds \\
 &+ ibE_0 \oint_{L_{m+1}} \left(\frac{\sigma}{1+\sigma} y^2 x - \frac{1}{3} x^3 \right) \cos nx ds - aE_0 \oint_{L_{m+1}} \left(\frac{\sigma}{1+\sigma} x^2 y - \frac{1}{3} y^3 \right) \cos ny ds. \quad (12)
 \end{aligned}$$

განვსახვრავთ რა (11)-დან $(\gamma_j - \bar{\gamma}'_j)$ სხვაობებს და შევიტანთ მათ მნიშვნელობებს (12)-ის მარცხენა მხარეში, მაშინ არსი და წარმოსახვითი ნაწილების გატოლება მოგვცემს:

$$\begin{aligned}
 & \left[E_0 \oint_{L_{m+1}} (aF + bf) \cos ny ds + \sum_{j=1}^m \oint_{L_j} E_j (aF + bf)_j \cos ny ds \right. \\
 & \left. - \sum_{j=1}^m \oint_{L_j} E_0 (aF + bf)_0 \cos ny ds \right] + \frac{a\sigma}{1+\sigma} \left[E_0 \oint_{L_{m+1}} x^2 y \cos ny ds \right. \\
 & \left. + \sum_{j=1}^m (E_j - E_0) \oint_{L_j} x^2 y \cos ny ds \right] - \frac{a}{3} \left[E_0 \oint_{L_{m+1}} y^3 \cos ny ds \right. \\
 & \left. + \sum_{j=1}^m (E_j - E_0) \oint_{L_j} y^3 \cos ny ds \right] = - \oint_{L_{m+1}} \tau_2 ds,
 \end{aligned}$$

$$\begin{aligned}
 & \left[E_0 \oint_{L_{m+1}} (aF + bf) \cos nx ds + \sum_{j=1}^m \oint_{L_j} E_j (aF + bf)_j \cos nx ds \right. \\
 & \left. - \sum_{j=1}^m \oint_{L_j} E_0 (aF + bf)_0 \cos nx ds \right] + \frac{b\sigma}{1+\sigma} \left[E_0 \oint_{L_{m+1}} y^2 x \cos nx ds \right. \\
 & \left. + \sum_{j=1}^m (E_j - E_0) \oint_{L_j} y^2 x \cos nx ds \right] - \frac{b}{3} \left[E_0 \oint_{L_{m+1}} x^3 \cos nx ds \right. \\
 & \left. + \sum_{j=1}^m (E_j - E_0) \oint_{L_j} x^3 \cos nx ds \right] = - \oint_{L_{m+1}} \tau_1 ds.
 \end{aligned}$$

გამოვიყენებთ რა აქ კვადრატულ ფრჩხილებში მოთავსებულ გამოსახულებებზე გრინის ფორმულებს, შედგენილი არეების შემთხვევაში (იხ. ა. რუხაძე [2]), მივიღებთ:

$$a = -\frac{1}{2 I_{xE}} \oint_{L_{m+1}} \tau_2 ds, \quad b = -\frac{1}{2 I_{yE}} \oint_{L_{m+1}} \tau_1 ds,$$

სადაც

$$I_{yE} = \sum_{j=0}^m E_j I_{y_j} \quad \text{და} \quad I_{xE} = \sum_{j=0}^m E_j I_{x_j}$$

(I_{y_j} და I_{x_j}) არიან S_j ($j = 0, 1, \dots, m$) არეების ინერციის მომენტები შესაბამისად Oy და Ox ღერძების მიმართ.

ახლა, თუ აღვადგენთ გადაადგილების ვექტორის კომპონენტებს, გვექნება:

$$\begin{aligned} u &= 4(1 - \sigma^2) p - (1 + \sigma) \frac{\partial \Phi}{\partial x} + (1 + \sigma) \int_{y_0}^y \int_{y_0}^y \int_{x_0}^x \left(a \frac{\partial^2 F}{\partial y^2} + b \frac{\partial^2 f}{\partial y^2} \right) dx \\ &+ (1 + \sigma) \int_{y_0}^y \int_{y_0}^y \left(a \frac{\partial F}{\partial x} + b \frac{\partial f}{\partial x} \right) dy - (1 + \sigma) \int_{x_0}^x (aF + bf) dx + \frac{b(1 + 2\sigma)}{12} x^4 \\ &+ \frac{b\sigma}{2} (y^2 - x^2) \zeta^2 + \frac{a\sigma}{3} xy (y^2 - 3\zeta^2) - \frac{b\sigma}{2} x^2 y^2 - \frac{b\zeta^4}{12} + 2c\sigma x \zeta, \\ v &= 4(1 - \sigma^2) q - (1 + \sigma) \frac{\partial \Phi}{\partial y} - (1 + \sigma) \int_{y_0}^y \int_{x_0}^x \int_{x_0}^x \left(a \frac{\partial^2 F}{\partial y^2} + b \frac{\partial^2 f}{\partial y^2} \right) dx \\ &+ (1 + \sigma) \int_{x_0}^x \int_{x_0}^x \left(a \frac{\partial F}{\partial y} + b \frac{\partial f}{\partial y} \right) dx - (1 + \sigma) \int_{y_0}^y (aF + bf) dy + \frac{a(1 + 2\sigma)}{12} y^4 \\ &+ \frac{a\sigma}{2} (x^2 - y^2) \zeta^2 + \frac{b\sigma}{3} xy (x^2 - 3\zeta^2) - \frac{a\sigma}{2} x^2 y^2 - \frac{a\zeta^4}{12} + 2c\sigma y \zeta, \\ w &= 2(1 + \sigma) (aF + bf) \zeta + 2(1 + \sigma) \omega + a\sigma x^2 y \zeta + b\sigma y^2 x \zeta - \frac{(2 + \sigma)a}{3} y^2 \zeta \\ &- \frac{(2 + \sigma)b}{3} x^2 \zeta - \frac{\zeta^3}{3} (ay + bx) + c(x^2 + y^2 - \zeta^2), \end{aligned}$$

სადაც მუდმივები a, b და c განსაზღვრულია (8) და (14) ფორმულებით, ხოლო p და q ტოლობით $\varphi(\zeta) = p + iq$.

შენიშვნა: აღვნიშნავთ, რომ თუ ზემოთ განხილულ ამოცანაში გამოყოფ შედაპირებზე ძაბვის კომპონენტებს (4)-ის ნაცვლად დავადებთ შემდეგ სასაზღვრო პირობებს:

$$\begin{aligned}
 [\tau_{11} \cos nx + \tau_{12} \cos ny]_j - [\tau_{11} \cos nx + \tau_{12} \cos ny]_0 &= A_j(x, y), \\
 [\tau_{21} \cos nx + \tau_{22} \cos ny]_j - [\tau_{21} \cos nx + \tau_{22} \cos ny]_0 &= B_j(x, y), \quad (j = 1, 2, \dots, m) \\
 [\tau_{31} \cos nx + \tau_{32} \cos ny]_j - [\tau_{31} \cos nx + \tau_{32} \cos ny]_0 &= C_j(x, y),
 \end{aligned}$$

სადაც $A_j(x, y)$, $B_j(x, y)$ და $C_j(x, y)$ ($j = 1, 2, \dots, m$) მოცემული ფუნქციებია, მაშინ დასმული ამოცანის ამოხსნას ექნება ისევ (6) სახე, მხოლოდ a , b და c მუდმივები უნდა აირჩეს შემდეგი სახით:

$$\begin{aligned}
 a &= - \frac{\sum_{j=1}^{m+1} \oint_{L_j} A_j(x, y) ds}{2 I_{xE}}, & b &= - \frac{\sum_{j=1}^{m+1} \oint_{L_j} B_j(x, y) ds}{2 I_{yE}}, \\
 c &= \frac{\sum_{j=1}^{m+1} \oint_{L_j} C_j(x, y) ds}{2 S_E}.
 \end{aligned}$$

ჩაწერის გამარტივების მიზნით აქ შემოღებულია აღნიშვნა:

$$A_{m+1}(x, y) = \tau_1(x, y), \quad B_{m+1}(x, y) = \tau_2(x, y), \quad C_{m+1}(x, y) = \tau_3(x, y).$$

რკინიგზის ტრანსპორტის ინჟინერთა

3. ლენინის სახელობის
თბილისის ინსტიტუტი

(რედაქციას მოუვიდა 15.2.1952)

დაგომვებაშლი ლიტერატურა

1. Н. И. Мусхелишвили. Некоторые основные задачи математической теории упругости. 1949.
2. А. К. Рухадзе. К вопросу деформации брусьев, близких к приватическим, составленных из различных упругих материалов. Труды Грузинского полит. института им. Кирова, т. XXIII, 1951.
3. E. Almansi. Nota II (Rendic. Accad. Lincei, Roma ser—5, t. X, 1901).
4. I. H. Michell. Quart. Journ. of Math. t—32, 1901.

ფიზიკა

დ. ჩილვინაძე, ვ. ბრავინსკი და ი. ჩხაიძე

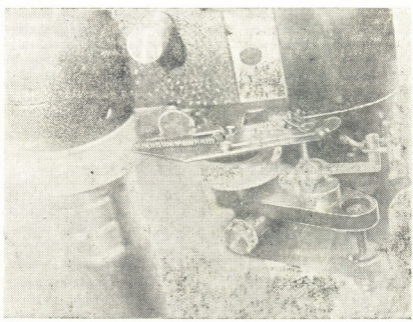
მოწყობილობა PMT-3 ხელსაწყოს ჩაშვების
ავტომატიზაციისათვის

(წარმოადგინა აკადემიის წევრ-კორესპონდენტმა ე. ანდრონიკაშვილმა 16.1.1952)

ხელსაწყო PMT-3, რომელიც ფართოდ გავრცელდა, სამართლიანად ითვლება ერთ-ერთ საუკეთესო ხელსაწყოდ მიკროსიმაგრის გასაზომად.

ამ ხელსაწყოს, რიგ კარგ თვისებებთან ერთად, მაინც გააჩნია უკანძები, რომლებიც გაუმჯობესებას საჭიროებენ.

ამ შრომაში ჩვენ შევჩერდებით დამტვირთავი მექანიზმის მუშაობაზე.



სურ. 1

ხელსაწყოში PMT-3 ჭოკის, ალმასის პირამიდიტა და ტვირთით, ჩაშვება და ამოწევა ხდება არეტირის სახელურის 180°-ზე შემობრუნებით.

სახელებით ბუნებრივია, რომ ასეთი მეთოდით მუშაობისას, როდესაც არტერის სახელური მოძრაობაში მოიყვანება ხელით, სხვადასხვა შემთხვევაში შემჩნეული იქნება ერთიმეორისაგან განსხვავებული შემობრუნება და დაყოვნება (დატვირთულ მდგომარეობაში ყოფნა) და აგრეთვე ალმასის პირამიდის არათანაბარი ჩაშვება, რაც იწვევს დეფექტური ანაბეჭდების რაოდენობის გაზრდას, ზოგჯერ კი სიმაგრის არასწორ რიცხვებს იძლევა.

დამტვირთავი მექანიზმის მუშაობის პროცესის ჩვენ მიერ დამუშავებული მოწყობილობა ალმასისპირამიდიანი ჭოკის მასზე მოთავსებული ტვირთით

ჩაშვების, დაყოვნებისა და ამოწვევის სრული ავტომატიზაციის საშუალებას იძლევა.

ამის გამო შესაძლებლობა გვეძლევა თავიდან ავიცილოთ ზემოთ მოყვანილი ნაკლოვანებანი.

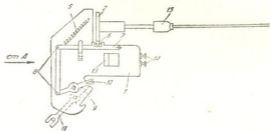


ნახ. 1 a

სურ. 1-ზე მოცემული მოწყობილობა მონტირებულია (იხ. ნახ. 1 a, b, c):

(1) ფუძეზე (2 მმ სისქის ლითონის ფირფიტა) და შედგება სათანადოდ დამუშავებული მუშტასაგან (2), რომელიც ზის ლერძზე (3); უკანასკნელი

მოთავსებულია (1) ფუძესთან მკვიდრად შეკავშირებულ მასრაში (4). მუშტას (2) სპირალური ზამბარის (5) დახმარებით მკვიდროდ ეხება ბერკეტის (7) გორგოლაჭი (6). თვით ბერკეტი (7), სახსროვანი (8) შეერთების საშუალებით დაკავშირებულია ზემო მმართვთან (9), რომელიც ბოლოვდება ჩანგლით. ჩანგლის თითები იტაცებენ ქვემო მმართვის თითს (10).

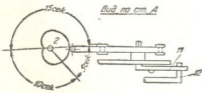


ნახ. 1 b

უკანასკნელი (ქვემო მმართვი) (11), თავის მხრივ, ბოლოვდება ჩანგლით, რომელშიც ზის არტერის სახელური (12).

ფუძე (1) სატაციისა (13) დამჭერი ხრახნის (14) საშუალებით მაგრდება დამტვირთავი ზედაპირის კორპუსზე.

მუშტას (3) ლერძი გუკის სახსრის (15) საშუალებით შეერთებულია ლილვაკთან (16), რომლის ბოლოზე ჩაჭრილია სეგმენტი.



ნახ. 1 c

მასრა (17), ჩაქულეტილი სეგმენტზე, მკვიდროდ შეერთებულია უორენის მოტორის ლერძთან (18), რომელიც წუთში ორ ბრუნს აკეთებს. უკანასკნელი



პირდაპირ ჩაერთვის ელექტროქსელში. თვით მოტორი მიმაგრებულია კრონ-შტეინზე (19), რომელიც ზის ლერძზე (20) და რომლის გარშემო მას შეუძლია შემობრუნება.

უნდა აღინიშნოს, რომ ლილვას (16) შეუძლია გადანაცვლება მასრის შიგნით, ამასთან მაბრუნებელი მომენტის გადაცემა მოტორიდან მუშტაზე დამოუკიდებელია მასრაში ლილვას მდებარეობისაგან.

ამრიგად, მიღწეულია ის, რომ მოწყობილობა მოქმედებს მიკროსკოპის ტუბუსის ნებისმიერი მდებარეობის დროს (მიკროგადაცემა, მაკროგადაცემა და აგრეთვე გადაადგილება სვეტის გასწვრივ მოწყობილობის მუშაობაზე გავლენას არ ახდენს).

მუშტა განაგარიშებულია და დამზადებულია ისე, რომ ნახევარბრუნვის განმავლობაში (15 წამი) ქვედა მმართველი ბერკეტისებური მექანიზმის დახმარებით შემობრუნდება 180°-ით, რომელიც თანაბრად აბრუნებს არეტირის სახელურს. ამ დროის განმავლობაში აღმასის პირამიდა ასწრებს შენობის გამოსაკვლევ ნიმუშის ზედაპირს და შეიჭრას მასში. შემდეგი 5 წამის განმავლობაში წარმოებს დაყოფნება (დატვირთულ მდგომარეობაში ყოფნა), რის შემდეგაც ქვემო მმართველი 10 წამის განმავლობაში უბრუნდება საწყის მდებარეობას (ჰოკი აღმასის პირამიდას ტვირთთან ერთად თანაბრად ამოდის არეტირის სახელურის უკუბრუნების გამო). ამრიგად, მუშტას ერთი სრული შემობრუნების დრო 30 წამს უდრის.

შემოთ აღნიშნული მოწყობილობა საშუალებას იძლევა ზუსტად განვსაზღვროთ დატვირთვის, დაყოფნების (დატვირთულ მდგომარეობაში ყოფნის) და ტვირთის მოხსნის დრო, აგრეთვე უზრუნველყოთ არეტირის სახელურის თანაბარი მოძრაობა აღმასის პირამიდის ჩაშვებისას და ამოწვევისას. მოწყობილობა არაა რთული არც კონსტრუქციულად და არც მისი დამზადების თვალსაზრისით. იგი შეიძლება ფართოდ გამოვიყენოთ ПИТ - 3 ხელსაწყოებით მუშაობის დროს, მით უმეტეს, რომ მისი გამოყენება არ მოითხოვს ხელსაწყოთა არაფითარ გადაკეთებას.

ცდებმა, რომელიც ჩატარდა ამ მოწყობილობის დახმარებით ქვამარილისა და თუთიის მონოკრისტალურ ნიმუშებზე, დეფექტური ანაბეჭდების რაოდენობის საგრძნობი შემცირება გვიჩვენა.

შემოთ ნაჩვენებ მოწყობილობის გამოყენება საშუალებას მოგვცემს მნიშვნელოვანი ერთგვაროვნება შევტანოთ სხვადასხვა მკვლევრის მუშაობაში.

საქართველოს სსრ მეცნიერებათა აკადემია
ფიზიკის ინსტიტუტი
თბილისი

(რედაქციას მოუვიდა 16.1.1952)



გეოლოგია

ბ. ბაშკალიძე, ნ. ბენდუქიძე და მ. მარსიაშვილი

ცხანარის მიდამოების ცარცული ნალექების სტრატოგრაფიისათვის

(წარმოადგინა აკადემიის ნამუშევრმა წევრმა ა. ჯანელიძემ 18.1.1952)

სამხრეთ ოსეთსა და ზემო რაქას შორის სასაზღვრო უბანზე მდ. ჯეჯო-რასა და მდ. ქვედრულას შუა, სოფ. ცხანარისა და ფასრალის მიდამოებში ფართოდაა გავრცელებული შრეებრივი კარბონატული ფაციესის მეზოზოური ნალექები; ეს ნალექები ამ ბოლო დრომდე ნამარხებით ღარიბად მიაჩნდათ, რის გამოც ასაკს მათ ქვეშ მდებარე მასივურ კირქვებთან დამოკიდებულებით არკვევდნენ. მაგრამ იმის გამო, რომ მათი ურთიერთდამოკიდებულება მთლად ნათელი არ იყო და ამავე დროს მასივური კირქვების ასაკიც (ზედა იურა და ზედა იურა-ქვედა ცარცი ან „ურგონი“) დაზუსტებას მოითხოვდა, შრეებრივი კირქვების ზუსტი ასაკის დადგენა არ ხერხდებოდა.

ბოლო წლებში ჩატარებული მუშაობის შედეგად მდგომარეობა შეიცვალა. მასივური კირქვები ივ. კახაძემ და ნ. კანდელაკმა [5,6] ზედა-იურულად დაათარიღეს, ხოლო აქ ნაპოვნი მდიდარი მარჯნული ფაუნის შესწავლის საფუძველზე ნ. ბენდუქიძის მიერ [1] მოცემულ იქნა კირქვების უფრო დეტალური სტრატოგრაფიული სქემა.

რაიონის გეოლოგიური აგებულების შესახებ ყველაზე სრული ცნობები წინა მკვლევართაგან ივ. კახაძესა და ნ. კანდელაკს აქვთ მოცემული [5]. შრეებრივ კირქვებში ნაპოვნი იქნა ზედაიურული ასაკის ფაუნა (როგორც ახლა გამოირკვა, — მეორად განლაგებაში). რის გამოც ისინი რიფული კირქვების თანმხლებ და სინქრონულ ფაციესად იქნენ მიჩნეული [5]. მიუხედავად იმისა, რომ ზოგიერთი წინა მკვლევარი მდ. ჯეჯორას მარჯვენა მხარეზე (სოფ. ფასრალის მიდამოებში) განვითარებულ თხელშრეებრივ კირქვებსა და მერგელებს ცარცულად თვლიდა და ზოგ შემთხვევაში საამისო ფაუნასაც ასახელებდა, მათი ცარცული ასაკი დღემდე დასაბუთებული არ იყო. 1947 წელს შრეებრივი კირქვების ზედა ჰორიზონტებში სოფ. ცხანარის მიდამოებში ი. მარკოზიამ ზედა ცარცისათვის დამახასიათებელი ზღარბები იპოვა, მაგრამ მან ზედა ცარცს მიაკუთვნა მხოლოდ შრეებრივი კირქვების ის ნაწილი, სადაც ზღარბები იყო შენიშნული, ხოლო დანარჩენი ნაწილი თვით ცხანარის მიდამოებშიაც კი ზედაიურულად დატოვა.

ამ წერილის ავტორებისა და ივ. კახაძის მიერ 1948-49 წლებში ჩატარებული სავსე მუშაობის მეოხებით შესაძლებელი გახდა აღნიშნული მიდამოების გეოლოგიური აგებულების დაზუსტება. ამ წერილის მიზანია მკითხველებს გააცნოს მიღებული შედეგები.

მთელი რაიონის დეტალური შესწავლის საფუძველზე ირკვევა, რომ შრეებრივი კირქვების დალექვა წარმოებდა ზედა იურის რიფული კირქვებისა და ზოგ შემთხვევაში ბაიოსის ვულკანოგენური წყების უსწორმასწორო ზედაპირზე. ამ მოვლენითაა გამოწვეული ის გარემოება, რომ შრეებრივი კირქვები, ერთი მხრივ, იურის სხვადასხვა ჰორიზონტზეა განლაგებული და, მეორე მხრივ, მისი ქვედა დასტა სრულად და ყველგან არაა წარმოდგენილი. ამ დასტის ყველაზე უფრო სრული კრილი მწვ. ველუანთის ჩრდილო და ჩრდილო-აღმოსავლეთ ფერდობზეა აღმოჩენილი. აქ რიფულ კირქვებს ადევს 30 მეტრი სიმძლავრის მარცვლოვანი ტლანქშრეებრივი კირქვები, რომლებიც ნ. ბენდუქიძის [1], ნ. ვასოვეჩისა [2] და ივ. კახაძის [6] მასალებით ტიტონურადაა დათარიღებული.

1. აქ ტლანქშრეებრივ კირქვებს მოჰყვება 8 — 10 მეტრის სიმძლავრის დასტა, რომელიც ძირითადად ლითოგრაფიული ტიპის კირქვებითაა წარმოდგენილი. შიგ მორიგეობენ: ფიქლებრივი მერგელების ღია მოყვითალო, ნაცრისფერი, მკვრივი ლითოგრაფიული ტიპის კირქვისა და ასეთივე ცემენტით შეკრული ბრეჭიული კირქვის შრეები. გვხვდება გაკაეებული უბნები, კაჟის ლინზები და აგრეთვე თხელშრეებრივი (თითქმის ფიქლებრივი) თხა-მერგელების შუა შრეები. დასტა ღარიბია ნამარხებით, მაგრამ მასში მაინც მოიძებნა *Rhynohonella malbosi* Pict. var. *chomerensis* Jac. et Fall.¹ ქვედა ნეოკომურში, *Aucella inflata* Sen. გვხვდება რუსეთისა და ინგლისის ნეოკომურში, *Aucella crassicolis* Kayer. var. *psyllorenchensis* Kar. ვხვდებით ყირიმის ვალანჯინურში *Pseudobelus* cf. *bipartitus* Blainv. გავრცელებულია ვალანჯინურსა და პოტრიულში, *Duvalia binervia* Rosp. ზედა ვალანჯინურსა და ქვედა ბარემულში, *Thwemannia* cf. *camplytoxa* Uhl. ცნობილია ზედა ვალანჯინურში და ქვ. პოტრიულში, *Neocomites* aff. *trezanensis* Lor. ტიპიური ფორმა აღწერილია საფრანგეთის შუა ვალანჯინურიდან.

თითქმის ყველგან ზედაიურული კირქვების მეზობელ ზოლში, ე. ი. რიფული კირქვების სანაპიროზე, ეს დასტა შეიცავს ბრეჭიებს (მაგ. ჩასავალ — ხობისა და ეწრის სერის ჩრდილოეთით) და არის ადგილები (ველუანთიდან ფასრალოსაკენ მომავალი კარსტული ხევის ჩრდილოეთით), სადაც იგი მთლიანად შრეებრივი ლითოგრაფიული ტიპის კირქვებისა და ბრეჭიების მორიგეობას წარმოადგენს.

2. აღწერილ დასტას სრული თანხმობით მოსდევს მუქი ნაცრისფერი, ოდნავ მოიხფრო ბრეჭიებიანი კირქვები. შრეების სისქე 10 — 20 სმ აღწევს. ქანი ზოგჯერ სუსტად დაფიქლულია, ფიქლებს ღრესვის სარკეები ემჩნევა. ზედა ნაწილში ვხვდებით ოდნავ ქვიშიან-თხიან შუაშრეებს. ხშირია კაჟის ლინზები და კონკრეციები. ეს დასტა შედარებით ნაკლებცვალებადია, მხოლოდ აქა-იქ ვხვდებით წვრილმარცვლოვანი ბრეჭიის შუაშრეებს, ზოგ უბანზე გაკაეებულს. ეს შრეებიც, წინას მსგავსად, რიფული კირქვების შვერილებ-

¹ აქ და ქვემოთ ბრაქიოპოდები განსაზღვრულია ქ. ნუტუბიძის მიერ; ზედა ცარცული ფაუნა ა. ცაგარლის, ზოლო ქვედა ცარცის ფაუნა მ. ერისთავის მიერ.

თან (ანუ სინქრონული რელიეფის ამალგებულ უბნებთან) მიახლოებისას თითქმის ყველგან სანაპირო ბრექჩიულ ფაციესში გადადის, ხოლო ზოგჯერ ზედაიურული მასივური კირქვების უბეებშია ჩალექილი. ჩანს, რომ აქ მკვდარ რიფზე დალექვა (ჩალექვა) წარმოებდა. დასტის ფუძიდან 12 — 13 მეტრის სიმაღლეზე აღებულია *Astieria cf. Atherstoni Scharp.* ზედა ვალანჯინურში და ქვედა პოტრიევულში გავრცელებული, და *Astieria jeannoti d'Orb.* ეს ფორმა საფრანკეთსა და შვეიცარიაში საერთოდ პოტრიევულში გვხვდება, აღმოსავლეთით, ბულგარეთში კი ქვედა პოტრიევულზე ზევით არაა ცნობილი. რაც შეეხება საქართველოს, სადაც ის პირველადაა ნაპოვნი, მოსალოდნელია, რომ ქვედა პოტრიევულს ზევით არც აქ სცილდებოდეს, მით უფრო, რომ მასთან ერთად ნაპოვნია *Neocomites neocomiensis d'Orb.*, რომელიც შუა ვალანჯინურ-ქვედა პოტრიევულ ფორმად ითვლება. შესწავლილი მიდამოს სხვადასხვა ადგილზე ანალოგიური დასტიდან აღებულია შემდეგი ფორმები: *Acanthodiscus sp. ind.*, *Phylloceras Eichwaldi Kar.* პოტრიევული, *Hibolites yaculum Phil.* პოტრიევულ-ქვედა აპტური, *Duvalia sp.* (ახალი სახე უნდა იყოს) და *Aucella sp.* დასტის შუა ნაწილში აღებულია *Pseudothurmannia angulicostata d'Orb.*, რომელიც წარმოადგენს ბარემულის სულ ქვედა ზონის დამახასიათებელ ნამარხს; ხოლო დასტის ზედა ნაწილში გვხვდებით *Mesohibolites longus Schv.*, *Mes. beskidensis Uhlig.* — ზედა ბარემულში და ქვედა აპტურში და *Phylloceras Milaschewitschi Kar.* (ბარემული ფორმა).

როგორც ჩანს, დასტის ქვედა ნაწილი, რომელიც შეიცავს *Neocomites neocomiensis d'Orb.*, არ შეიძლება ქვედა პოტრიევულზე ახალგაზრდა იყოს. ამიტომ ბუნებრივია პოტრიევულის დასაწყისი სედიმენტაციის ხასიათის შეცვლას დავეუკავიროთ და აღწერილი დასტის ქვევით პოტრიევულზე ძველი ნალექების არსებობა დავეუწვათ. ეს დაშვება მით უფრო გამართლებულია, რომ ქვედა, ლითოგრაფიული ტიპის მოყვითალო ფერის კირქვების დასტაში ნაპოვნი ბელემნიტებისა და ამონიტების ფაუნა სტრატეგრაფიულად ხუთმეტრიოდ მეტრით ქვევითაა აღებული. აღწერილი დასტის ზედა ნაწილი რომ ბარემულს მთლიანად უნდა შეიცავდეს, მტკიცდება დასტის შუა ნაწილში *Pseudothurmannia angulicostata d'Orb.*-ის პოვნით, რომელიც ბარემულის ქვედა ზონის დამახასიათებელ ნამარხად ითვლება, მეორე მხრივ კი, ზევით მომდევნო მერგელების ქვედა ნაწილში ქვედა აპტური *Colchidites securiformis*-ის ზონის სახელმძღვანელო ფორმების პოვნითაც მტკიცდება.

3. ეს უკანასკნელი დასტა კარგადაა წარმოდგენილი მწვ. ველუანთის ჩრდილო-დასავლეთით. ის მეტად თხელია (2-დან 7 — 8 მეტრამდე), ზოგან სულაც არაა. შედგება მომწვანო-ნაცრისფერი მერგელებისაგან, რომელიც ფაციესის ცვალებადობას თითქმის არ განიცდის, მხოლოდ ფასრალოსკენ ხევში ფურცელა სახეობას იძლევა.

დასტაში გვხვდებით საკმაოდ მდიდარ, მაგრამ ცუდად დაცულ ფაუნას: *Neohibolites clava Stol.*, რომელიც ჩრდილო კავკასიაში და გერმანიაში მხოლოდ ქვედა აპტურშია ცნობილი; *Neohnguriensis Rouch.* და *Costidiscus latus Rauch.* საქართველოში გავრცელებულია ქვედა აპტურში; *Colchidites ellepticus*

Rouch.; *Colch. lakhephaensis* Rouch.; *Colch. (Imerites) cf. densecostatus* Rouch.; *Colch. (Im.) microcostatus* Rouch.; *Colch. (Im.) cf. semituberculatus*. Rouch.; *Colch. (Im.) Favrei* Rouch.; *Colch. (Im.) cf. gumbriensis* Rouch.).

ამ ფორმათა გავრცელება საქართველოში, როგორც უკვე აღვნიშნეთ, აბტის ქვედა ზონით იზარგლება—*Colchidites securiformis*-ის ზონით; *Rhynchonella lineolata* Phil-ის ვხვდებით ბარემულსა და აბტურში; *Terebratula biplicata* Sow.—აბტურსა და ალბურში. ამ ფაუნის მიხედვით დასტაში ქვედა აბტურის არსებობა ეჭვს არ იწვევს. ზედა აბტურის დამახასიათებელი ფორმები აქ არა გვაქვს, მაგრამ მისი არსებობა დასტის ზედა, ფაუნით დაუთარილებელ შრეებში დასტურდება მისი მომდევნო ნალექების ქვედა ნაწილში კლანსეტური ჰორიზონტის სახელმძღვანელო ფორმის—*Mesohiolites brekis* Schw-ის—პოვნით.

4. აღნიშნული დასტა წარმოდგენილია ფერადი ფიქლებრივი მერგელებით, მნიშვნელოვანია, რომ ფერადი მერგელების ხან ქვედა, ხან შუა და ხან ზედა ნაწილი გადარეცხვის ნიშნებს შეიცავს, რაც ველუანთის ჩრდილო დასავლეთით მიკროკონგლომერატების, სოფელ ცხანარის წყაროსთან კონგლომერატ-ბრექჩიებისა და ცხანარის ჩრდილოეთით ლოდ-ბრექჩიების არსებობაში გამოიხატება. ფერადი მერგელების ზედა ნაწილი ცხანარის სამხრეთ-აღმოსავლეთით (კარსტული წყაროების მიდამოებში) გაკაეებულია.

ველუანთის ჩრდილო-დასავლეთით ფერადი მერგელების დასტაში მრავლად გვხვდება აუცელინები და ბელემნიტები: *Aucellina ex. gr. aptiensis* (d'Orb.) Pomp., *Auc. ex. gr. caucasica* Buch., *Auc. aptiensis* (d'Orb) Pomp., *Auc. Anthulai* Pavl., *Neohiolites Wollemanni* Stol., *Neoh. strombechi* Mul., *Neoh. aff. inflexus* Stol. აქ ამ ფერად მერგელებში ალბურის ზედა ნაწილის დამახასიათებელი ნამარხები ნაპოვნი არაა, მაგრამ უფრო მაღალი ჰორიზონტების არსებობა არაა გამორიცხული, თუმცა ზოგან დასტის მცირე სიმძლავრე მის ჩრდილო-დასავლეთ გავრცელებასთან შედარებით და გადარეცხვის მკაფიო ნიშნების არსებობა შესაძლებელს ხდის ალბის ზედა ჰორიზონტების სტრატოგრაფიულად გამოვარდნას. კერძოდ, ველუანთასთან აღარ გვაქვს დასტის ზედა ნაწილში წარმოდგენილი კაჟიანი ფაციესი და ფერად ფიქლებს მხოლოდ 5—8 მეტრის სიმძლავრე ექვს.

ბრექჩიების მასალას უმთავრესად ზედაიურული და ქვედაცარცული კირქვები წარმოადგენენ.

5. აღმოსავლეთისაკენ (ფასრადო) და დასავლეთისაკენ (ცხანარის სამხრეთით) აღწერილ დასტას თანხმობით მოსდევს კაჟიანი ჰორიზონტი, შემდგარი შავი და ნაცრისფერი კაჟის შრეებისაგან, გაკაეებული კირქვების შუა-შრეებით. ფასრადოსთან ამ კაჟიან ჰორიზონტში ვხვდებით 5—30 სმ სიმძლავრის მომწვანო-მოყვითალო მიკროკონგლომერატ-ბრექჩიის შუაშრეებს, რომლებიც ბაიოსური პორფირიტული წყების მასალისაგან შედგებიან. ფასრადოს სინკლინის ჩრდილო ფრთის კაჟიანი ჰორიზონტი სინკლინის სამხრეთ ფრთაში მუქ ნაცრისფერ-მოყვითალო კირქვიან ტუფოვენ ქანში გადადის. ამ ჰორიზონტის შესატყვისი დასტა ცხანარისაკენ წარმოდგენილია ლოდ-

ბრექჩიების მძლავრი წყებით (10—20 მეტრის სიმაღლისა), რომლის ცემენტ-შიაც ნაპოვნია სენომანური *Aucellina Krasnopolskii* Pavl. და *Inoceramus cf. pictus* Sow.

თითქმის ყველგან, შესწავლილ მიდამოში, ამ ნალექების დალექვის დროს-თან დაკავშირებულია ტუფუგენური — ბაიოსური მასალის გადარეცხვა-და-ლექვა, მძლავრი ლოდ-ბრექჩიების წარმოშობა და ხარვეზები სელიმენტაციაში. ამ ლოდ-ბრექჩიების წარმოშობის გამომწვევე მოვლენებს (ფსკერის აღმავალი მოძრაობა) შიგ ალბურშივე დაუწყობით მოქმედება (ფერადი მერგელების ფაციფსების ურთიერთდაკავშირება ცალკე კვლევის საკითხს წარმოადგენს). დასტის-ში აღნიშნული კაყები, განსაკუთრებით სოფ. ფასრალოსთან, ისეთივე ხასიათისაა, როგორც მეზობელ ფლიშურ ზოლში აგრეთვე სენომანურად დათარიღებული ე. წ. ანანურის ჰორიზონტის კაყები. ამგვარი დათარიღება აღწერილი დასტის სტრატиграფიულ მდებარეობას არ უნდა ეწინააღმდეგებოდეს. ამგვარად, ფერადი მერგელები და კაყიანი დასტა შესაძლოა ალბ-სენომანურად დათარიღდეს. შესწავლილი ზოლის ცენტრულ უბანზე ველუანთის ჩრდილო-აღმოსავლეთით და უკივლეთის სამხრეთით ალბ-სენომანური ნალექები ან სრულგბით არაა, ან ზოგან მხოლოდ 2 მეტრის სიმაღლის ფერადი მერგელებითაა წარმოდგენილი.

6. აღწერილ დასტას თითქმის ყველგან უშუალოდ მოჰყვება მკვრივი თხელშრებრივი წითელი (ზოგჯერ მოყავისფრო-აგურისფერი) კირქვების დასტა, რომელიც ზოგან სქელშრებრივია, ზოგან კი ფიქლებრიობამდე და ფურცლოვანობამდე მიდის. შიგ შუაშრებების სახით ვხვდებით ვარდისფერ და მტრედისფერ კირქვებს. ჩანს მოწითალო-ყავისფერი კაყის ჩანართები. წითელ კირქვებში ხშირად გვხვდება ორსაგდულიანების (?) პრიზმული შრის ნამსხვრევები. დასტის სიმაღლე 4—12 მეტრის ფარგლებში მერყეობს. დასტაში იურული კირქვების მახლობლად ხშირად ვხვდებით ბრექჩიებს. ესეც იმის ნიშანი უნდა იყოს, რომ ამ დროისათვისაც რიფული კირქვები არ ყოფილა ნალექებით მთლიანად დაფარული და ხდებოდა მათი ნგრევა კლდოვანი წყალქვეშა შეერილების გასწვრივ.

7. წითელი კირქვები სრული თანდათანობით გადადის ვარდისფერ-ნომტრედისფრო ლაქებიან ლითოგრაფიული ტიპის კირქვების დასტაში. ეს დასტა, თავის მხრივ, ზევითკენ გადადის თეთრ, ოდნავ მოყვითალო-მოცისფრო ლითოგრაფიული ტიპის კირქვებში. ფერადი დასტა ხშირად ქვედა, წითელი და ზედა მოყვითალო-თეთრი ლითოგრაფიული ტიპის კირქვების თითქმის რითმულ მორიგეობას წარმოადგენს. წყება გადარეცხვის ნიშნებს არ ატარებს. იგი მუხჯია. მისი სიმაღლე 4-დან 60 მეტრამდე იზომება. აღნიშნული კომპლექსი ყველგან ტიპიურადაა წარმოდგენილი. როგორც ჩანს, სამივე დასტას შორის ხარვეზი გამორიცხულია, ხოლო წყების ქვევით მდებარე დასტა ალბ-სენომანურს შეიცავს, ზევით მდებარე ქვიშიანი კირქვები კი, იქ ნაპოვნი ზღარბების ფუნის მიხედვით, დათარიღებულია დანიურად: ამიტომ წითელი კირქვებისა და ლითოგრაფიული კირქვების კომპლექსი, სტრატиграფიული მდებარეობის მიხედვით, დასაშვებად მიგვაჩნია დათარიღებულ იქნეს ტურონულ-მასტრიხტულად.



მ. ზევით მდებარე დანიური ასაკის ქანები წარმოდგენილია თხელბრე-
ებრივი ნაცრისფერი ქვიშიანი კირქვებით, რომლებიც ზევითკენ ტლანქსრე-
ებრივ ქვიშიან მერგელოვან კირქვებში გადადის. ხშირად ვხვდებით კაცუს
ლინზებს. დასტის ზედა ნაწილი ქვიშიანი ხდება. ზოგ შემთხვევაში კი ტლანქ-
სრეებრივი მარცვლოვანი კირქვითაა წარმოდგენილი. შიგ მრავლად გვხვდება
მარჯნები და ზღარბები. უკანასკნელთაგან ა. ცაგარლის მიერ განსაზღვრუ-
ლია: *Coraster cf. sphaericus* Seun., *Cor. frechi* Böhm., *Cor. vilanovae* Cott., *Cor-*
marsoi Seun., *Echinocorys Douvillei* Seun., *Cyclaster atyricus* Seun. ეს ფორმები
ყველა დანიურია. აქედან *Cyclaster atyricus* Seun. საქართველოში პირველად
ნაპოვნია. დანიური ხშირად იწყება კონგლომერატ-ბრექჩიებით. ბრექჩიები ზე-
და და ქვედა ცარცულ და ზედაიურულ მასალას შეიცავს, ხოლო ცემენტი
ნაცრისფერ ქვიშიან კირქვას წარმოადგენს.

ცხანარის სამხრეთ-აღმოსავლეთით ეს ბრექჩიები უშუალოდ ალბ-სენომა-
ნურ ნალექებზეა განლაგებული, ხოლო ველუანთის ჩრდილო-დასავლეთით —
ბარემულ კირქვებზე. დანიური ნალექების სიმძლავრე ზოგან 10 მეტრია, ზო-
გან კი 60 მეტრამდე აღწევს (ფასრალოსთან).

ამით მთავრდება ცარცული წყებების კრილი და ზევით მდებარე უთან-
ხმოდ განლაგებული წყება უკვე შუა ეოცენს მიეკუთვნება.

შესწავლილი მიდამოს ცარცულ ნალექებში შეიძლება გაიჩიოს ლითოლო-
გიური პორიზონტები, აღნიშნული ნახ. 1-ზე, რაც ამავე დროს სტრატოგრა-
ფიული ერთეულებიცაა.

განხილულ მკირე ფართობზე გულდასმით შესწავლის პირობებში სარ-
თულების გამოყოფა ლითოლოგიური-მაკროსკოპული ნიშნების მიხედვითაც
ხერხდება; ეს არ ნიშნავს, რომ სტრატოგრაფიული პორიზონტების ლითოლო-
გია და ფაციესი სრულებით უცვლელი რჩებოდეს, მაგრამ ცვალებადობა არ
მიდის ძირითადი დამახასიათებელი ნიშნების ისეთ შეცვლამდე, რომ დასტა
გამოუცნობი დარჩეს. მეორე მხრივ, ფაციესების აღნიშნული ცვლა კანონზო-
მიერია და შესაძლებელი ხდება შედარებით მშვიდი დალექვის, სანაპირო
ზეირთცემისა და გადარეცხვის უბნების გარჩევა.

ზემოთ თქმულიდან ჩანს, რომ ნალექებში რამდენიმე ხარვეზი გვაქვს. ცარ-
ცის წინ და თვით ცარცულში. ცნობილია, რომ ცარცულ ტრანსგრესიას
ბელტზე უნივერსალური ხასიათი აქვს, მაგრამ როგორი უნდა იყოს ცარცის
წინა ხარვეზის ხანგრძლიობა ჩვენს რაიონში, ბელტიდან გეოსინკლინისაკენ
გარდამავალ ზოლში, ან როგორია აქ ანდური ფაზისით გამოწვეული ემერ-
სიის ხანგრძლიობა [3]? ქვედა ცარცის ქვედა პორიზონტები უმრავლეს შემთ-
ხვევაში ქვედა ლითოგრაფიული ტიპის კირქვების დასტის ელემენტებს შე-
იცავს. მათში წარმოდგენილი ბრექჩიები, ვფიქრობთ, მკვდარი რიფის სანა-
პიროს ნგრევის ხარჯზეა წარმოშობილი. აქ გვაქვს ვალანეინური ფაუნა. მის
ქვევით მდებარე მასიურ კირქვებში ტიტონური ფაუნის პოვნა, თუნდაც იგი
გადალექილი იყოს, მოწმობს, რომ ემერსიას თუ ჰქონდა კიდევ ადგილი, იგი
მხოლოდ შიგ ტიტონურში ან მის და ცარცის საზღვარზე უნდა მომხდარიყო,
რადგან ქვევით კივირიჯსა და ტიტონს შუა ხარვეზი არაა [1]. ამავე დროს,

თუ ბელტურიდან გეოსინკლინურისაკენ გარდამავალ ზოლში განვითარებული ცარცული ნალექების შედარებით მცირე სიმძლავრეებს გავითვალისწინებთ, მისალოდნელია ქვედა ლითოგრაფიული დასტა ვალანჯინურის დიდ ნაწილს შეიცავდეს, ე. ი. ცარცის წინა ემერსია ხანმოკლე უნდა ყოფილიყო (უთუოდ ზედა ტიტონურსა და ქვედა ვალანჯინურს მოიცავდა).

შემდეგი დრო, როდესაც აუზის გათხელება გვაქვს და იქმნება ნაწილობრივი ემერსიაც, ემთხვევა ფერადი მერგელების დალექვას. აქ ყველგან გვხვდება ფაციესები, რომლებიც უთუოდ ალბური ზღვის რეგრესიის მაჩვენებელია. ეს ჩანს: 1) ალმ-სენომა-ნური ასაკის მძლავრი ბრეჭიული წყების გაჩენიდან; 2) ზოგ კრილში ალმ-სენომა-ნური ასაკის დასტის მთლიანად ამოვარდნიდან ან გათხელებიდან; 3) გრაუვაკული მასალის არსებობიდან. როგორც ჩანს, სენომა-ნურის წინ რელიეფის შესამჩნევ ცვლილებას ჰქონია ადგილი. ყოველივე ეს ზღვის ფსკერის აღმავალ მოძრაობაზე ლაპარაკობს და ბუნებრივია, რომ ეს მოვლენა ივსტრიულ ფაზის დაკუთვნიებით, რადგან ფერადი მერგელების დასტა ზოგადად ალბურად თარიღდება.

ზედა ლითოგრაფიული კირქვების დამლექავი ზღვის ხანაში, ტურონ-მასტრიხტულში (?), თუ გამოვრიცხავთ მკვდარი რიფის სანაპირო ზოლში დალექილ ბრეჭიას, სხვაგან ყველგან ერთნაირად მშვიდი სედიმენტაციის პირობები გვაქვს, ე. ი. სუბ-ჰერცინული ფაზის და მამადასტურებელი ფაქტები არ გავაჩნია.

ზედა ლითოგრაფიული კირქვების მომდევნო დანიური ნალექები ქვიშიანია. ამ წყების ტერიგენული მასალით გამდიდრება შესაძლოა ოროფაზისით გამოწვეულ რეგრესიას უკავშირდებოდეს, სახელდობრ ლარამულს, რადგან ყველგან ქვიშიანი მასალის რაოდენობა ზევითკენ მატულობს.

ფუძის ბრეჭიები, რომლებიც ცხანარ-წედისის მიდამოებშია წარმოდგენილი, განლაგებულია სენომა-ნური ასაკის კაჟიან ჰორიზონტზე და ტურონ-მასტრიხტული მთლიანად გადარეცხილია, ე. ი. გვაქვს დანიურის ტრანსგრესიული განლაგება ქვედა წყებებზე; ეს, როგორც ჩანს, უნდა გამოხატავდეს ა. ჯანელიძის მიერ [4] დახასიათებულ მოვლენას — რეგრესიული წყების ტრანსგრესიულად განლაგებას.



ნახაზის ახსნა

1—ზედაურული მარცვლოვანი ტლანკწრებრივი კირქვები; 2—და მოვითალო-ნატრისფერი ლითოგრაფიული ტიპის კირქვები და ასეთივე ცემენტით შეჭრული ბრეჭიები; 3—მუქი ნატრისფერი, შრებრივი, მკვრივი კირქვები; 4—მომწვანო-ნატრისფერი თხიანა მერგელები, ხშირად ფიქლებრივი მერგელები; 5—კაჟიანი პორიზონტი; 6—შრებრივი წითელი კირქვების დასტა; 7—ძირში ვარდისფერი და ზევითკენ თეთრი თხეშრებრივი ლითოგრაფიული ტიპის კირქვები; 8—ზღობებით მდიდარი ნატრისფერი, ქვიშიანი კირქვები; 9 — ეოცენური ასაკის ქვიშაქვები

თხელი ზღვის ფაციესების გამოჩენა ჩვენს სპეციფიკურ პირობებში შესაძლებელია არ კმაროდეს ოროფაზისების არსებობის კატეგორიული მტკიცებისათვის, მაგრამ ეს ცვლილებები და სანაპირო ხაზის მკვეთრი გადანაცვლებები მხოლოდ ფაზისების შესაბამის დროში გვხვდება და ამიტომ ოროფაზისებთან დაკავშირება ერთგვარ დამაჯერებლობას იძენს.

საქართველოს სსრ მეცნიერებათა აკადემია
 გეოლოგიისა და მინერალოგიის ინსტიტუტი
 თბილისი

(რედაქციას მოუვიდა 18.1.1952)

დამოწმებული ლიტერატურა

1. ნ. ბენდუქიძე. ზემო რაჭისა და სამხრეთ ოსეთის ზედაიურული მარჯნები. საქართველოს სსრ მეცნ. აკად. გეოლოგიისა და მინერალოგიის ინსტიტუტის შრომები, ტ. V(X), 1949.
2. Н. Б. Вассоевич. О находке *Calymene Lorenz* на Кавказе и в Крыму. Проблемы Советской геологии, т. V, № 9, 1935.
3. П. Д. Гамквелидзе. Новые данные по тектонике Квайсинского района. Сообщения АН Груз. ССР, т. XI, № 2, 1950.
4. А. И. Джавелидзе. Геологические наблюдения в Окрибе. Тбилиси, 1940.
5. И. Р. Кахадзе и Н. А. Канделаки. К стратиграфии мезовойских отложений Цханарской синклинали. Сообщения АН Груз. ССР, т. IV, № 3, 1943.
6. И. Р. Кахадзе. Грузия в юрское время. Труды Геолог. Ин-та АН Груз. ССР, сер. геол., т. III (VIII), 1947.

მინერალოგია

ო. მხედლიშვილი-პატროსიანი

თიხოვანი მინერალების აქტივობის სამართო თეორიის
საპირობებისათვის

(წარმოადგინა აკადემიის ნამდვილმა წევრმა ა. თვალჭრელიძემ)

თიხოვანი მინერალების ძალზე დიდი და ზრდადი მნიშვნელობა ტექნიკაში დაკავშირებულია მათს განსაკუთრებულ თვისებებთან. ამ თვისებებს შორის მცირე როლს როდი თამაშობს აქტივობა თიხებისა, რომელიც გამოიყენება სამშენებლო საქმესა და კერამიკულ წარმოებაში, აგრეთვე ნავთის რეწველობაში, კვების მრეწველობაში და სხვა დარგებში.

თიხების აქტივობა შედგენდება მათი რეაქციის მაღალუნარიანობაში. საღებავების შთანთქმა, რეაქციები სხვადასხვა რეაგენტებთან და სხვ. სხვადასხვანაირია თიხოვანი ნივთიერებების სხვადასხვა მინერალური ჯგუფისათვის. მაგალითად, მონტმორილონიტის ჯგუფში აქტივობა ცოტად თუ ბევრად დამახასიათებელია ბუნებრივ მდგომარეობაში მყოფი მინერალებისთვის (მონტმორილონიტი, ბეიდელიტი, საპონიტი), რაც საგრძნობლად ძლიერდება სათანადო ქიმიური დამუშავებისას [1]; კაოლინის ჯგუფში კი (კაოლინიტი, დიკიტი, ნაკრიტი) იგი საგრძნობლად შედგენდება მხოლოდ თერმული დამუშავების შემდეგ ტემპერატურათა გარკვეულ ინტერვალში, რაც დასტურდება ამგვარად დამუშავებული თიხის კირთან ურთიერთქმედებით [2].

თიხოვანი მინერალების ეს ორი მნიშვნელოვანი ჯგუფი ერთმანეთისაგან წარმოქმნის პირობებითაც განსხვავდება. მონტმორილონიტის ჯგუფი მოითხოვს ტუტე არეს, კაოლინიტისა კი მჟავებს [3].

საბჭოთა კავშირში და საზღვარგარეთ შესწავლილი ბენტონიტის თიხების უმეტესობა ძირითადად მონტმორილონიტისაგან შედგება. მათ გენეტურად მჭიდრო კავშირი აქვთ ვულკანურ მინასა და ფერფლთან.

მნიშვნელოვან ინტერესს წარმოადგენს მონტმორილონიტის ჯგუფის თიხების ბუნებრივი აქტივობის შედარება 500—800°-ზე გახურების შემდეგ კაოლინიტის ტიპის თიხების შეძენილ აქტივობასთან. ასეთ ტემპერატურამდე გახურებულ თიხას, კონსტიტუციური წყლის მოცილების შემდეგ, მესერის შემადგენლობაში აქვს ალუმინის უმდგრადი კოორდინაციული დაჯგუფება ოთხმაგ კოორდინაციაში [4,5]. ასეთი დაშვება ალბათ ეხება ალუმინის არა ყველა იონს, არამედ მხოლოდ მათ ნაწილს, რომელთა რაოდენობა იზრდება დეჰიდრატაციასთან ერთად.

შეორე მხრივ, ცნობილია, რომ მინისტრ ფაზეზში ალუმინის იონი მხოლოდ ოთხმაჯ კოორდინაციაში [6] იმყოფება. ასეთი მდგომარეობის უმდგრადობა, კაჟბადის იონთან შედარებით ალუმინის დიდი იონისათვის, მქლავნდება თიხამიწის ცნობილ განმამინებელ მოქმედებაში (უფრო მეტად კი მაგნიუმის ქანვისათვის, ვინაიდან მაგნიუმის იონი უფრო დიდია, ვიდრე ალუმინის იონი).

ამრიგად, ვულკანურ მინისტრ ან ნაწილობრივ ამორფირებულ ქანებში ალუმინი ტეტრაედრულ გარემოცვაში უნდა ყოფილიყო. ეს მდგომარეობა ალუმინის იონისათვის არასტაბილური იყო, მაგრამ ტუტე არეში მოხვედრისას, რომელიც ხელს უწყობს კათიონის შემცირებული კოორდინაციის შენარჩუნებას [7], იგი შეიძლება საკმაო ხნით დარჩენილიყო. ასეთი შენარჩუნებული უმდგრადი (აქტიური) ასოციაციის მაგალითია ცნობილი ბენტონიტის თიხები. მკავე არეში კი ალუმინი სწრაფად აღწევდა ექვსმაჯ გარემოცვას და მიიღებოდა კაოლინიტის რიგის თიხოვანი მინერალები, რომელნიც გამოწვის შემდეგ აქტიურდებიან. ცხადია, უკანასკნელი აქტივაცია დროებითია, რადგან ტემპერატურის ზედმეტად გაზრდისას ქანგბადის ტეტრაედრების შრე წყდება, ხოლო კათიონი კეთილშობილი აირის გარსით მიისწრაფვის მაღალი კოორდინაციისაკენ.

განსახილველია, რა ხდება ბენტონიტის თიხების მკავეებით აქტივაციის დროს მათი გახურებისას. მკავეით დამუშავება იწვევს შემადგენლობის ნაწილის ხსნარში გადასვლას და ქმნის ღია კავშირებს, რაც ხელს უწყობს თიხების აქტიური თვისებების გამომჟღავნებას.

საიდან ჩნდება აღნიშნული ღია კავშირები?

ამ დარგის ლიტერატურაში არა ერთხელ იყო აღნიშნული, რომ კაჟბადის ატომების შეცვლა ალუმინით ელემენტარული უჯრედის გარეგან ზედაპირზე ქმნის უარყოფითი მუხტების უფორმო ჯგუფს, რომელიც გარე არედან უნდა გაჯერდეს კათიონების აღსორბციით [8].

ზემოქმედების პროცესის დეტალების განუხილველადაც [1] ეპვგარეშეა, რომ მკავეით დამუშავებისას ეს დამატებითი კათიონები ჩამოირეცხება, შეინაცვლება წყალბად-იონებით და თიხის აქტივობა იზრდება. აღსორბირებული კათიონების შედგენილობის ცვლილება, უკანასკნელთა სახის მიხედვით, სხვადასხვა შედგენილობის აქტიური თიხების მთელ გამას ქმნის; მთლიანად ამ მოვლენას საფუძვლად უდევს არასტაბილურ, ოთხმაჯ გარემოცვაში მყოფი ალუმინის იონის არსებობა.

მონტმორილონიტის გახურებას თან სდევს აქტივობის დაცემა, რადგან დასტებს შორის წყლის მოცილება იწვევს დასტების დაახლოებას და ფარდობითი აქტივაცია (დასტებიდან წყლის მოცილების ტემპერატურის მიღწევისას) უმნიშვნელოდ მოქმედებს აქტივობის საერთო ბალანსზე.

საინტერესოა აღინიშნოს, რომ კონსტიტუციური წყლის მოცილების ენდოთერმული ეფექტი მონტმორილონიტისათვის გაცილებით უფრო დაბალია, ვიდრე კაოლინიტისათვის, რაც ნათლად გვიჩვენებს, რომ გაუწყლოებისას ალუმინის იონის კოორდინაციის შემცირების ენდოთერმული ეფექტი არ



იფარება. ნაკლებ მკაფიოდაა გამოხატული აგრეთვე ეგზოთერმული ეფექტი, რაც იმას მოწმობს, რომ საქმე გვაქვს არა შრეობრივი ანიონის მკვეთრ გაწყვეტასთან [5], არამედ უკვე ნაწილობრივ დაკრისტალებული ამორფული სტრუქტურის თანდათანობით გადახალისებასთან.

ჩვენ განვიხილეთ მაგალითების მხოლოდ მცირე ნაწილი, რომელთა რიცხვი შესაძლოა საგრძნობლად გაიზარდოს, მაგრამ ზემოთ მოყვანილის შეჯამებისას შესაძლოდ მიგვაჩნია აღვნიშნოთ, რომ თიხიანი მინერალების აქტივობის ბუნების განზოგადების ცდა ნებას მოგვცემს ახლებურად მივუღდეთ თიხების შესწავლასა და გამოყენებას.

საქართველოს სსრ მეცნიერებათა აკადემია
ლითონისა და სამთო საქმის ინსტიტუტი
თბილისი

(რედაქციას მოუვიდა 2.1.1952)

დამოწმებული ლიტერატურა

1. Bentonитовые глинны Грузинской ССР, под ред. А. А. Твалчрелидзе. Тбилиси, 1941.
2. П. П. Будников. Труды эксперим. инст. силикатов, вып. 21, (1927); Сб. научно-исследов. работ по стройматериалам. Госстройиздат, М., 1947, стр. 97.
3. И. Д. Седлецкий. Коллоидно-дисперсная минералогия, изд. АН СССР. М.-Л., 1945.
4. L. Tscheschwilli u. W. Büsser. Ber. D. Keram. Ges., 20, 249—77, 1933.
5. О. П. Мчеллов-Петросян. ДАН СССР, 78 (3), 1951, стр. 557—559.
6. J. M. Stevels. Progress in the Theory of the Physical Properties of glass. Elsevier Amsterdam, p. 51, 1948.
7. В. С. Соболев. Введение в минералогию силикатов. Изд. Львовского Университета, 1949, стр. 54.
8. Е. Гаувер и Д. Лебо. Коллоидная химия глинистых пленок. Сб. физико-химия глинистых растворов. Гостоптехиздат, М., 1947.

ტექნიკა

რ. მონიაშვილი და ა. ჯაბუა

თხელკედლიანი ცილინდრული ბუნკერის წინაღობის შესახებ
თარაზული ძალების ქმედების მიმართ

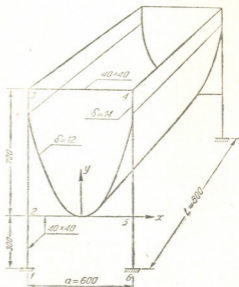
(წარმოდგინა აკადემიის ნამდვილმა წევრმა კ. ზავრივემა 11.3.1952)

უკანასკნელი დროის განმავლობაში ზოგიერთი ავტორის მიერ შემუშავებულია ცილინდრული ფორმის რკინაბეტონის ბუნკერის კონსტრუქციები.

ასეთი ბუნკერი კეთდება წინასწარ დაკიმული რკინაბეტონის გარსისაგან, რომელიც გრძივი კედური კოქების საშუალებით განივ ჩარჩოებს ეყრდნობა. საყრდენს სიბრტყეში გარსი დიაფრაგმებით ან სიხისტის წიბოებითაა გამაგრებული. აღნიშნული ბუნკერები რაციონალური იქნება, უკეთეს უზრუნველყოფთ ფხვიერი ტანის სათანადო ცოცვის კუთხეც.

წინამდებარე სტატიაში შესწავლილია ცილინდრული ბუნკერების თარაზული სიხისტის საკითხი, რასაც განსაკუთრებული მნიშვნელობა აქვს პრაქტიკულად მისი გამაგრების საკითხის გადაწყვეტის დროს.

დამრეცი გარსოვანი ვადახურვებისაგან განსხვავებით, რომლებსაც დიდი თარაზული სიხისტე ახასიათებს, მოსალოდნელია, რომ თხელკედლიანი ბუნკერი, როგორც დატვირთვის დიდი მასის მზიდი კონსტრუქცია, თარაზული ძალების ასატანად კონსტრუქციულ გამაგრებას მოითხოვს. ამჟამად არ არსებობს ცილინდრული ბუნკერის თარაზულ ძალებზე ანგარიშის პრაქტიკული ხერხი. ასეთი ხერხი შეიძლება შემუშავდეს ვ. ვლასოვის „შემცველი ნაკვეთების მეთოდის“ საფუძველზე. აღნიშნული მეთოდი კარგადაა ცნობილი ლიტერატურაში. სიცხადისათვის ვუჩვენოთ თარაზულ ძალებზე ანგარიშის ხერხი კონკრეტულ მაგალითზე, რაც არ დაუკარგავს მას ზოგადობას.



სურ. 1

განვიხილოთ კონკრეტული ზომის ცილინდრული ბუნკერი, რომელიც პირველ ნახაზზეა წარმოდგენილი. ბუნკერის მოხაზულობა ოპტიმალურია,

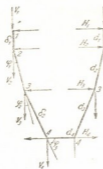
$y = 0,8x^2$. კოორდინატთა სათავე მიღებულია განივკვეთის სიმეტრიის ღერძის რიგულ 2—5-თან გადაკვეთის წერტილში.

ბუნკერი და განივი საყრდენი ჩარჩოები გაკეთებულია 110 მარკის რკინა-ბეტონისაგან, რომლის დრეკადობის მოდული კუმშვაზე $E = 200000$ კგ/სმ². ბუნკერი დატვირთულია შლაკით, რომლის მოცულობითი წონა $\gamma = 0,9$ ტ/კუბ. მ. დატვირთვის პარაბოლა განისაზღვრება განტოლებით: $q_x = 58,43 - 6,27x^2$ ტ/მ. ფხვიერი ტანის ბუნებრივი ქანობის კუთხე $\alpha = 40^\circ$.

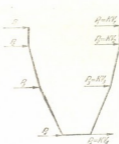
ვლასოვის მიხედვით [1], შეეცვალოთ ბუნკერის მოხაზულობა მასზე შემოწერილი შვიდკუთხა მრავალგვერდით, რაც ცილინდრულ გარსს ნაკეცებიან ცილინდრულ სისტემადა გარდაქმნის.

ბუნკერის ფხვიერი ტანით სრულად დატვირთვის დროს კვანძურ ტვირთებს შემდეგი მნიშვნელობები ექნება (იხ. ნახ. 2):

$v_1 = 0,2$ ტ.	$H_1 = 0,047$ ტ.
$v_2 = 0,504$ "	$H_2 = 0,636$ "
$v_3 = 3,675$ "	$H_3 = 1,907$ "
$v_4 = 8,70$ "	$H_4 = 1,504$ "



ნახ. 2



ნახ. 3

ქვემოთ მოგვყავს ნაკეცებიანი შემცვლელი სისტემის განივკვეთის დახასიათება:

$d_1 = 1,20$ მ	$\varphi_1 = 12^\circ 30'$
$d_2 = 2,73$ "	$\varphi_2 = 15^\circ 30'$
$d_3 = 3,31$ "	$\varphi_3 = 62^\circ$
$d_4 = 1,80$ "	
$\delta_1 = 14$ სმ	
$\delta_2 = 12$ სმ	

განვიხილოთ იგივე ბუნკერი, დატვირთული ცალმხრივ მოქმედი P თარიღული ძალებით.

P თარიღული ძალები x ვერტიკალური კვანძური დატვირთვების პროპორციულია.

შემდგომ ანგარიშებში მიღებულია, რომ პროპორციულობის კოეფიციენტი $k = \frac{1}{40}$

ამის შესაბამისად, მივიღებთ კვანძური თარაზული დატვირთვების შემდეგ მნიშვნელობებს:

$$\begin{aligned} P_1 &= 0,005 \text{ ტ} \\ P_2 &= 0,0126 \text{ ,,} \\ P_3 &= 0,092 \text{ ,,} \\ P_4 &= 0,217 \text{ ,, (იხ. ნახ. 3)} \end{aligned}$$

განგისაზღვროთ ბუნკერის დაძაბული მდგომარეობა განხილული ν , H და P დატვირთვათა სისტემებისათვის,

ვიანგარიშოთ ვლასოვის მეთოდით [1] შემდეგი მატრიცის მიხედვით:

№№	σ_1	σ_2	σ_3	σ_4	M_3	M_4	თავისუფლ. წევრი
1	r_{11}	r_{12}	0	0	S_{13}	0	R_{1P}
2	r_{21}	r_{22}	r_{23}	0	S_{23}	S_{24}	R_{2P}
3	0	r_{32}	r_{33}	r_{34}	S_{33}	S_{34}	R_{3P}
4	0	0	r_{43}	r_{44}	S_{43}	S_{44}	R_{4P}
3	a_{13}	a_{23}	a_{33}	a_{43}	b_{33}	b_{34}	0
4	0	a_{24}	a_{34}	a_{44}	b_{43}	b_{44}	0

პირველი კვადრანტის კოეფიციენტებს შემდეგი მნიშვნელობა აქვს:

$$\begin{aligned} r_{11} &= \frac{F_1}{3} = \frac{\delta_1 d_1}{3} = 0,056 \text{ მ}^2 & r_{12} &= r_{21} = \frac{F_1}{6} = 0,028 \text{ მ}^2 \\ r_{22} &= \frac{1}{3} (F_1 + F_3) = 0,165 \text{ მ}^2 & r_{23} &= r_{32} = \frac{F_2}{6} = 0,0546 \text{ მ}^2 \\ r_{33} &= \frac{1}{3} (F_2 + F_3) = 0,241 \text{ მ}^2 & r_{34} &= r_{43} = \frac{F}{6} = 0,0662 \text{ მ}^2 \\ r_{44} &= \frac{1}{3} (F_3 + F_4) + \frac{F_4}{6} = 0,24 \text{ მ}^2. \end{aligned} \quad (1)$$

მეორე კვადრანტის კოეფიციენტებია:

$$\begin{aligned} S_{13} &= \frac{1}{d_1 d_2 \sin \varphi_1} = 1,40 \text{ მ}^{-2} \\ S_{23} &= \frac{1}{d_2^2} \left(\operatorname{ctg} \varphi_1 + \operatorname{ctg} \varphi_2 + \frac{d_2}{d_1 \sin \varphi_1} + \frac{d_2}{d_3 \sin \varphi_2} \right) = -2,91 \text{ მ}^{-2} \end{aligned}$$

$$S_{33} = \frac{I}{d_2^2} (\operatorname{ctg} \varphi_1 + \operatorname{ctg} \varphi_2) + \frac{2}{d_2 d_3 \sin \varphi_2} + \frac{I}{d_3^2} (\operatorname{ctg} \varphi_2 + \operatorname{ctg} \varphi_3) = 2,31 \text{ მ}^{-2}$$

$$S_{43} = -\frac{I}{d_3^2} \left(\operatorname{ctg} \varphi_2 + \operatorname{ctg} \varphi_3 + \frac{d_3}{d_2 \sin \varphi_2} + \frac{d_3}{d_4 \sin \varphi_3} \right) + \frac{I}{d_3 d_4 \sin \varphi_3} = -0,79 \text{ მ}^{-2}$$

$$S_{34} = \frac{I}{d_2 d_3 \sin \varphi_2} = 0,414 \text{ მ}^{-2}$$

$$S_{34} = -\frac{I}{d_3^2} \left(\operatorname{ctg} \varphi_2 + \operatorname{ctg} \varphi_3 + \frac{d_3}{d_2 \sin \varphi_2} + \frac{d_3}{d_4 \sin \varphi_3} \right) = -0,984 \text{ მ}^{-2}$$

$$S_{44} = \frac{I}{d_4^2} \left(\operatorname{ctg} \varphi_2 + \operatorname{ctg} \varphi_3 + \frac{d_3}{d_4 \sin \varphi_3} \right) = 0,57 \text{ მ}^{-2}$$

მეოთხე კვადრანტის კოეფიციენტებია:

$$b_{33} = \frac{I}{3} \left(\frac{d_2}{I_2} + \frac{d_3}{I_3} \right) = 14000 \text{ მ}^{-2}$$

$$b_{34} = b_{43} = \frac{d_3}{6 I_3} = 3540 \text{ მ}^{-2}$$

$$b_{44} = \frac{I}{3} \left(\frac{d_3}{I_3} + \frac{d_4}{I_4} \right) + \frac{d_4}{6 I_4} = 13920 \text{ მ}^{-2},$$

სადაც

$$I_i = \frac{\delta_i^3}{12}$$

ანტისიმეტრიული დატვირთვის შემთხვევაში ზოგიერთი კოეფიციენტის მნიშვნელობა უეიცივლება, სახელდობრ:

პირველ კვადრანტში

$$r_{44} = \frac{I}{3} (F_3 + F_4) - \frac{F_4}{6} = 0,168 \text{ მ}^2;$$

მეორე კვადრანტში

$$S_{34} = S_{43} = -\frac{I}{d_3^2} \left(\operatorname{ctg} \varphi_2 + \operatorname{ctg} \varphi_3 + \frac{d_3}{d_2 \sin \varphi_2} + \frac{d_3}{d_4 \sin \varphi_3} \right) - \frac{I}{d_3 d_4 \sin \varphi_3} = -1,177 \text{ მ}^{-2};$$

$$S_{44} = \frac{2}{d_3^2} (\operatorname{ctg} \varphi_2 + \operatorname{ctg} \varphi_3) + \frac{2}{d_4^2} \operatorname{ctg} \varphi_3 + \frac{3}{d_3 d_4 \sin \varphi_3} + \frac{I}{d_4^2 \sin \varphi_2} = 2 \text{ მ}^{-2}$$

და მეოთხე კვადრანტში

$$b_{44} = \frac{I}{3} \left(\frac{d_3}{I_3} + \frac{d_4}{I_4} \right) - \frac{d_4}{6 I_4} = 9790 \text{ მ}^{-2}.$$

გამოვთვალოთ ახლა თავისუფალი წვერების მნიშვნელობა ν შევუღო ტვირთების მოქმედების შემთხვევისათვის:

$$R_{1P} = -\frac{4 \cdot 0,42}{\pi} = 0,535 \text{ ტმ}^{-2} \quad R_{2P} = -\frac{4 \cdot 1,94}{\pi} = 2,475 \text{ ტმ}^{-2}$$

$$R_{3P} = -\frac{4 \cdot 0,25}{\pi} = 0,318 \text{ ტმ}^{-2} \quad R_{4P} = \frac{4 \cdot 2,11}{\pi} = 2,692 \text{ ტმ}^{-2}. \quad (5)$$

სიმეტრიული თარაზული ტვირთების მოქმედების დროს

$$R_{1P} = -\frac{4 \cdot 2,39}{\pi} = -3,04 \text{ ტმ}^{-2} \quad R_{3P} = \frac{4 \cdot 3,33}{\pi} = 4,24 \text{ ტმ}^{-2}$$

$$R_{2P} = \frac{4 \cdot 1,17}{\pi} = 1,49 \text{ ტმ}^{-2} \quad R_{4P} = -\frac{4 \cdot 2,11}{\pi} = -2,69 \text{ ტმ}^{-2}. \quad (6)$$

ანტისიმეტრიული თარაზული ტვირთების მოქმედებისათვის

$$R_{1P} = \frac{4 \cdot 0,0188}{\pi} = 0,024 \text{ ტმ}^{-2} \quad R_{2P} = -\frac{4 \cdot 0,0702}{\pi} = 0,0895 \text{ ტმ}^{-2}$$

$$R_{3P} = -\frac{4 \cdot 0,1907}{\pi} = -0,243 \text{ ტმ}^{-2} \quad R_{4P} = \frac{4 \cdot 0,095}{\pi} = 0,121 \text{ ტმ}^{-2}. \quad (7)$$

გარსში ჩაწერილი შვიდწახნავიანი ნაკეცის ანგარიში დაიყვანება შემდეგი ალგებრული სისტემის ამოხსნაზე:

$$\left. \begin{aligned} \lambda^2 r_{11} \sigma_1 + \lambda^2 r_{12} \sigma_2 - S_{13} M_3 - R_{1P} &= 0, \\ \lambda^2 r_{21} \sigma_1 + \lambda^2 r_{22} \sigma_2 + r_{23} \lambda^2 \sigma_3 - S_{23} M_3 - S_{24} M_4 - R_{2P} &= 0, \\ \lambda^2 r_{32} \sigma_2 + \lambda^2 r_{33} \sigma_3 + \lambda^2 r_{34} \sigma_4 - S_{33} M_3 - S_{34} M_4 - R_{3P} &= 0, \\ \lambda^2 r_{43} \sigma_3 + \lambda^2 r_{44} \sigma_4 - S_{43} M_3 - S_{44} M_4 - R_{4P} &= 0, \\ a_{13} \sigma_1 + a_{23} \sigma_2 + a_{33} \sigma_3 + a_{43} \sigma_4 - \lambda^2 b_{33} M_3 - \lambda^2 b_{34} M_4 &= 0, \\ a_{24} \sigma_2 + a_{34} \sigma_3 + a_{44} \sigma_4 - \lambda^2 b_{43} M_3 - \lambda^2 b_{44} M_4 &= 0, \end{aligned} \right\} \quad (8)$$

სადაც

$$\lambda^2 = \frac{\pi^2}{L^2} = 0,1542.$$

ჩავსვათ (8) განტოლებაში (1), (2) და (3) კოეფიციენტების რიცხობრივი მნიშვნელობები. თავისუფალი წევრების მნიშვნელობა მივიღოთ განსახილველი შემთხვევის შესაბამისად. ამგვარად, V შვეული ძალების მოქმედების შემთხვევაში თავისუფალი წევრების მნიშვნელობა მიიღება (5) მიხედვით და (8) სისტემის ამოხსნის შედეგად უცნობების შემდეგ მნიშვნელობებს მივიღებთ:

$$\left. \begin{aligned} \sigma_1 &= -3,17 \text{ კგ/სმ}^2 & M_3 &= -73 \text{ კგმ/მ} \\ \sigma_2 &= -8,42 \text{ " } & M_4 &= 16,2 \text{ " } \\ \sigma_3 &= 0,235 \text{ " } & & \\ \sigma_4 &= 7,4 \text{ " } & & \end{aligned} \right\} \quad (9)$$

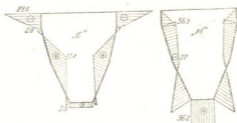
იმისათვის, რომ განვსაზღვროთ ნაკეცის დაძაბული მდგომარეობა H სიმეტრიული თარაზული ძალების მოქმედების დროს, საჭიროა თავისუფალი წევრები (6) მიხედვით მივიღოთ, მაშინ (8) სისტემის ამოხსნის შემდეგ სახით წარმოვღებთ:

$$\left. \begin{aligned} \sigma_1 &= -26,45 \text{ კგ/სმ}^2 & M_3 &= 46 \text{ კგმ/მ} \\ \sigma_2 &= 5,6 \text{ " } & M_4 &= 80 \text{ " } \\ \sigma_3 &= 13,2 \text{ " } & & \\ \sigma_4 &= 10,9 \text{ " } & & \end{aligned} \right\} \quad (10)$$

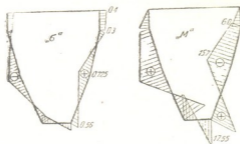
დატვირთული ბუნკერის საკუთარი წონით გამოწვეული მთლიანი დაძაბული მდგომარეობის მისაღებად შევაჯამოთ (9) და (10) ამონახსნები, რის შედეგად მივიღებთ:

$$\begin{aligned}
 \sigma_1 &= -29,62 \text{ კგ/სმ}^2 & M_3 &= -27 \text{ კგმ/მ} \\
 \sigma_2 &= -2,82 \text{ "} & M_4 &= 96,2 \text{ "} \\
 \sigma_3 &= 13,435 \text{ "} & & \\
 \sigma_4 &= -3,5 \text{ "} & &
 \end{aligned} \tag{11}$$

„ σ “ და „ M “-ის შესაბამის ეპიურები წარმოდგენილია მე-4 ნახაზზე.



ნახ. 4



ნახ. 5

გამოვიყენოთ ახლა (8) სისტემა ნაკეცის ანტისიმეტრიულ თარაზულ ტვირთზე საანგარიშოდ. ამ შემთხვევაში კოეფიციენტები უნდა გამოვთვალოთ (4) შესწორების გათვალისწინებით.

თავისუფალი წევრების მნიშვნელობა საჭიროა მივიღოთ (7) მიხედვით. (8) განტოლებების ამოხსნის შედეგად მივიღებთ:

$$\begin{aligned}
 \sigma_1 &= 0,4 \text{ კგ/სმ}^2 & M_3 &= 15,8 \text{ კგმ/მ} \\
 \sigma_2 &= 0,3 \text{ "} & M_4 &= -17,55 \text{ "} \\
 \sigma_3 &= -0,725 \text{ "} & & \\
 \sigma_4 &= 0,56 \text{ " (იხ. ნახ. 5).} & &
 \end{aligned}$$

(12)-ის შედარება (11) თან გვიჩვენებს, რომ ბუნკერზე ვერტიკალური ტვირთების $\frac{I}{40}$ ნაწილის ტოლი ცალმხრე მიმართული თარაზული ძალების მოქმედების დროს ბუნკერის კედელში წარმოქმნილი მაქსიმალური მღუნავი მომენტები 18,3%-ით გაიზრდება. გრძივი ძაბვები ცალკეულ ადგილებში 10—16%-ით იზრდება. ეს გარემოება მოითხოვს, სათანადოდ, ბუნკერის კონსტრუქციულ გამაგრებას.

თარაზული დატვირთვის გავლენა დიდია განივ საყრდენ ჩარჩოებზე. შევეული ტვირთით გამოწვეული მღუნავი მომენტების შედარება თარაზული ტვირთით გამოწვეულ მომენტებთან გვიჩვენებს, რომ არ შეიძლება უქანასკნელების უგულვებელყოფა.

თუ თარაზულ დატვირთვას დინამიკური ხასიათი აქვს, მნიშვნელოვანია ბუნკერის თავისუფალი რხევის სიხშირეების ცოდნა. ეს უქანასკნელები შეიძლება განისაზღვროს [2]-ში მოცემული ვარიაციული მეთოდის თანახმად; კერძო შემთხვევაში, როდესაც ცილინდრული ბუნკერის კედლები რადიალურადაა დაყრდნობილი, თავისუფალი რხევის სიხშირე ბუნკერის ნებისმიერი მოხაზულობისათვის შემდეგი ფორმულით გამოისახება:

$$\omega_{mn}^2 = \frac{g}{\gamma b} \left[D(\lambda_n^2 + \mu_m^2)^2 + (T_1^2 \lambda_n^2 + T_2^2 \mu_m^2 + 2S^0 \lambda_n \mu_m) + \frac{4E\delta \lambda_n^4 I^2(\beta)}{\beta_0^2 (\lambda_n^2 + \mu_m^2)^2} \right] \quad (13)$$

α და β კოორდინატებია მთავარი სიმრუდეების მიმართულებით.

აქ T_1^2 , T_2^2 და S^0 გამოსახავენ ბუნკერის დამაბულობას, ურომლისოდ (13) ფორმულა გამარტივდება

$$I(\beta) = \int_0^{\beta_0} k_2(\beta) \sin^2 \mu_m \beta d\beta; \quad (14)$$

$$\mu_m = \frac{m\pi}{\beta_0}, \quad \lambda_n = \frac{n\pi}{L}$$

ბუნკერის წრიული მოხაზულობის შემთხვევაში $I(\beta) = \frac{\beta_0}{2}$.

მაგალითისათვის განვიხილოთ რკინაბეტონის ცილინდრული ბუნკერი, რომლის ზომები გეგმაში 6,0×3,6 მეტრია, ხოლო მოხაზულობა წრიული რადიუსით $R = 3,0$ მ. ბუნკერის სისქე $b = 12$ სმ, $\gamma = 2,4$ ტ/კუბ. მ. თავისუფალი რხევის ძირითადი სიხშირე $\omega_{3,4} = 3I_{3,4}$ რხ/სეკ.

მეორე მაგალითისათვის განვიხილოთ იგივე ბუნკერი ოპტიმალური მოხაზულობით $\gamma = 0,8 \alpha^2$.

ამ შემთხვევაში შესაძლოა სიმრუდის კარგი ნიახლოება ფორმულით

$$k_2 = 1,6 e^{-\beta}.$$

გამოთვლით მივიღებთ

$$I(\beta) \approx 0,8 \text{ და } \lambda_{\text{კვ}} \approx 37 \text{ რხ/სეკ.}$$

საგულისხმოა, რომ თავისუფალი რხევის ძირითადი ტონის შესაბამისი ლუნვის ფორმა ხასიათდება ორი ნახევარტალლით განივი და ერთი ნახევარტალლით გრძივი მიმართულებით.

საქართველოს სსრ მეცნიერებათა აკადემია
 სამშენებლო საქმის ინსტიტუტი
 თბილისი

(რედაქციას მოუვიდა 17.3.1952)

დამოწმებული ლიტერატურა

1. В. З. В л а с о в. Строительная механика тонкостенных пространственных систем. М., 1949.
2. О. Д. О н и а ш в и л ი. Применение вариационного метода к задачам о колебаниях и устойчивости пологой оболочки. Сообщения АН Грузинской ССР, т. X, № 10, 1949.



ბოტანიკა

ბ. ბავრილუნო

ფურცისულას ახალი სახეობა თბილისის მიდამოებში

(წარმოადგინა აკადემიის წევრ-კორესპონდენტმა ლ. დეკაბრელევმა 8.1.1952)

Primula saguramica n. sp. n.

Sect. *Vernales* in Pax. *Monographische überraicht über die Arten der Gattung Primula*. Leipzig, 1888.

Perennis rhizomata crasso brevi; folia rosularia late elliptica basi angustata in petiolum anguste alatum transeuntia, margine inaequaliter sinuata atque minutae aquitodentata lamina rugosa supra pilis raribus subtus praecipue ad nervos densioribus glandulisque luteolis sparsio obsita. Caule florifere, 10—20 cm. alto, flores 4—8 in umbellata terminali involucelli phylla breviter linearia, pedicellis 8—15 mm. longis, breviora, acuta; calyx late cylindricus angustatus, tubo 8—9 mm. longo, dentibus late triangulare lanceolatis post anthesin rectis, 5—6 mm. longis; scapi involucelli phylla, pedicelli pilis sat longis patulis obsita. Corolla limbo plano, 12—18 mm. in diametrum, tubo dentibus calycinis longiore, pallide lutea, fauce macula lutea instructa, lobi parum erosulis. Capsula calyce multo longior, 5—6 cm. longa.

Typus. Georgia Karthli. Viciniae urbis Tbilissi in declivio meridionali jugi saguramo in silvis frondosio mixtis, 700 m. supra mare IV—1946, leg. B. Gawrilenko.

P. Pallasii Lehm. proxima, seet ab eo calycis pedicellorum pubescencia patula longiore foliis praesirtim subtus densius puberulis, corollae tubi longitudine atque dentibus calycinis apice rectis vix introrsum directis differt. Planta silvatica nes alpina.

აღნიშნული მცენარე მრავალწლოვანია, ფესურა მსხვილია, დამოკლებული. ფოთლები ფესვის ყელთანაა როზეტად შეკრებილი, მოყვანილობით ფართო — ელიფსური, ფუძისაკენ შევიწროებული და ვიწროფრთიან ყუნწად გადასული, კიდევზე უთანაბროდ ამოკვეთილი და მახვილკბილებიანი. ფოთლის ფირფიტა დანაკლებულია, ზემოდან თხლად მოფენილი ბეწვებით, ქვემოდან კი, განსაკუთრებით ძარღვების გასწვრივ, სახსრიანი ბეწვებითაა უფრო სქლად შემოსილი, რომელთა შორის მოყვითალო ჯირკვლებია მოფანტული.

ყვავილები 4—8 ცალის რაოდენობით 10—20 სმ სიმაღლის საყვავილე ღეროზეა ქოლგად შეკრებილი. საბურვლის ფოთოლაკები მოკლე—ხაზურია, ყვავილის ყუნწებზე მოკლე, წაწვეტებული. ყვავილების ყუნწები 8—15 მმ სიგრძისაა. ჯამი ფართო—ცილინდრული, წახნაგოვანი, ხუთკბილა. მისი მი-



Primula saguramica B. Gawr.

ლი 8—9 მმ სიგრძისაა. ჯამის კბილები ფართო სამკუთხა—ლანცეტაა, დაყვავილების შემდეგ სწორი რჩება, 5—6 მმ სიგრძისაა. საყვავილე ღერო, საბურვლის ფოთოლაკები, ყვავილების ყუნწები და ჯამი მოფენილია საკმაოდ გრძელი აფშეკილი სახსრიანი ბეწვებით.

გვირგვინი მკრთალი ყვითელია, ხახაში მუქი ყვითელი ლაქა აქვს, ნალუნი ბრტყელია, 12 — 18 მმ დიამეტრის, მილი სიგრძით აღემატება ჯამის კბილებს. გვირგვინის ნაკვეთები თავამოკვეთილია. კოლოფი 5 — 6 მმ სიგრძისაა, ჯამზე ბევრად მოკლე.

ყვავილობს მარტის ბოლო რიცხვებში და აპრილის დასაწყისში. ყვავილობის ხანგრძლიობა 20 — 25 დღეა.

ადგილსამყოფელი: მთის შუა სარტყლის სამხრეთის ფერდობების ფოთლოვანი ტყეები;

გავრცელება: თბილისის მიდამოები (საგურამოს ქედი). ზემოთ აღწერილი სახეობა ნაპოვნი იქნა 1946 წლის აპრილში, ზღვის დონიდან 700 მეტრ სიმაღლეზე, საგურამოს ქედის (თბილისიდან 25 კილომეტრის დაშორებით) სამხრეთ ფერდობების ფოთლოვან ტყეში, სადაც ქარბობს წიფელი, ქართული მუხა და რცხილა.

ჩვენ მიერ ნაპოვნი სახეობა ეკუთვნის *Vernales Pax* სექციას და ყველაზე უფრო ახლო დგას *Pr. Pallasii* Lehm.-თან, რომლისგანაც განსხვავდება ჯამისა და ყვავილის ყუნწების უფრო გრძელი და აფშეკილი ბეწვით, ფოთლების უფრო ხშირი ბეწვებით (განსაკუთრებით მათ ქვემო მხარეზე), გვირგვინის მილის სიგრძით (რომელიც ჯამს აღემატება), აგრეთვე ჯამის კბილებით, რომელთა ბოლოები სწორია ან ოდნავ შიგნითაა მიმართული.

გარდა ამისა, *Pr. Pallasii* Lehm. წარმოადგენს მაღალმთის ალპური მდელოების მცენარეს; ჩვენ მიერ ნაპოვნი სახეობა კი ტყის მცენარეა.

საქართველოს სსრ მეცნიერებათა აკადემია

ბოტანიკის ინსტიტუტი

თბილისი

(რედაქციას მოუყვია 8.1.1952)



ნიღაზგამოცემობა

ბ. კოსტავა

წითელმწიფებში ნიღაზგამოცემის პროცესების შესახებ მათი
ფრაქციების ძირითადი შედგენილობის მიხედვით

(წარმოადგინა აკადემიის წევრ-კორესპონდენტმა მ. საბაშვილმა 15.11.1951)

ნიღაზის დისპერსიული სისტემის, განსაკუთრებით კი მისი უწვრილესი, რეაქციის მაღალი უნარის მქონე ფრაქციების ბუნებაში გარკვევისათვის საჭირო კვლევებს ამჟამად განსაკუთრებული ყურადღება ექცევა. ეს გასაგებია, თუ მხედველობაში მივიღებთ ნიღაზწარმოქმნის პროცესებში მათ უაღრესად დიდ როლს.

ზოგიერთი ნიღაზის ფრაქციული შედგენილობის შესახებ სპეციალურ ლიტერატურაში საკმაო მასალებია შეგროვილი [4,6,8], მაგრამ, ამასთანავე, სხვა წარმომადგენლების მიწართ ამგვარი შედეგები ან სრულებით არ მოიპოვება, ან მათ თავისებურებაზე მხოლოდ არაპირდაპირი მონაცემებით მსჯელობენ. როგორც ჩანს, ასეთი მდგომარეობაა შექმნილი წითელმწიფების ირგვლივაც, რომელთა შთანთქმავი კომპლექსის მეტად ორიგინალური ქცევები, კერძოდ ამფოტერული თვისებები, უმთავრესად ფუნქციონალური რეაქციების საშუალებითაა დადგენილი [1,2,5,7].

დასახული ამოცანის გადასაწყვეტად, სახელდობრ—პირდაპირი კვლევის შედეგების მისაღებად, ჩვენ მიერ ჩატარებულია წითელმწიფა ნიღაზის ფრაქციების ანალიზური გამოკვლევა. ექსპერიმენტისათვის საჭირო ობიექტის შერჩევას, ვებლმძღვანელობდით რა რიგი ჭრილების წინასწარი შესწავლითა და დამახასიათებელი ნიმუშების ღრმა ანალიზური მაჩვენებლებით, ყველაზე მოხდენილად მივიჩინეთ ავტიტური პორფირიტების დედაქანებზე და არა მეორად-ჭრელ თიხებზე განეთარებული ჭრილი. ამ ნიღაზის ზედაპირულ ფენაში CaO მონაწილეობა, სხვებთან შედარებით, საგრძნობლად დაბალია. ამრიგად, ის მიჩნეული იყო, ასე ვთქვათ, პირველადისა და გადაუნაცვლებელი კოლოიდების სამარაგო წყაროდ.

ჭრილისათვის დამახასიათებელი მთლიანი ანალიზის შედეგები უცვლელად იმეორებს წითელი მიწებისათვის უკვე ცნობილ შედგენილობას.

კოლოიდური და კოლოიდწინა ფრაქციების გამოყოფა და შესწავლა ჩატარდა სელიმენტაციის სხვადასხვა პირობებში, სახელდობრ: ა) დადებითი მუხტის—0,005 ნორმალობის HNO₃ გამოყენებით, ბ) უარყოფითი მუხტის—0,1 ნორმალობის Li₂CO₃ გამოყენებით და გ) სუფთა წყლის არეებში.

ასეთი სუსტი კონცენტრაციის ელექტროლიტების ხმარება ნაკარნახევო-იყო ექსპერიმენტის ბუნებრივ პირობებთან მაქსიმალურად მიახლოების სურვილით. კერძოდ, აზოტის მქავეს გამოყენებით ჩვენ თითქოსდა ავსახეთ თბილი, ჰუმიდური ზონისათვის ცნობილი, ატმოსფერული ნალექების საშუალებით აზოტის ნერთების ნიადაგში შეტანის ფაქტი. რაც შეეხება სუსტ ტუტეს, ამ შემთხვევაში იმ მოსაზრებიდან გამოვიდოდით, რომ ნიადაგის წვრილი დისპერსიული ნაწილი პეპტიზირებული იქნება უფრო აქტიური და არა „დაძველებული“, გამოლექილი კოაგულატების ხარჯზე. ამ მოსაზრებას ქვემოთ მოყვანილი პირველი ცხრილის შედეგები ადასტურებს.

ცხრილი 1

კოლოიდებისა და კოლოიდწინა ფრაქციების რაოდენობა დისპერგირების სხვადასხვა პირობებში

სიღრმე	> 5 μ ფრაქცია			5—0,2 μ ფრაქცია			< 0,2 μ კოლოიდური		
	წყლის არე	მქავეს არე	ტუტ. არე	წყლის არე	მქავეს არე	ტუტ. არე	წყლის არე	მქავეს არე	ტუტ. არე
0—18	96,08	97,04	58,12	2,16	2,01	37,01	1,76	0,97	4,87
35—65	97,58	97,08	59,32	არაა	არაა	36,76	კვალად	კვალად	3,92
82—100	98,04	98,94	70,45	"	"	25,73	არაა	არაა	3,32
143—161	99,12	98,20	80,17	"	"	17,25	"	"	2,57
237—280	99,28	98,14	81,28	"	"	15,76	"	"	1,96
362—440	99,44	98,48	86,90	"	"	11,66	"	"	1,24

კოლოიდური ფრაქციის გამოსავალი, Li იონით პეპტიზაციის შემთხვევაშიაც კი, დაბალია. როგორც ჩანს, ჩვენი ნიადაგის წვრილი დისპერსიული ნაწილი სწრაფად განიცდის „მოძველებას“. რაც შეეხება > 5 μ ფრაქციას, მისი სიჭარბე უთუოდ მიკროაგრეგატების მაღალი სიმტკიცითაა გამოწვეული.

ჰუმუსურ ფენაში კოლოიდები, დისპერსიის გარემოს დამოუკიდებელივ, საკმაოდან განვითარებული. ამისთან დაკავშირებით საჭიროდ მიგვაჩნია სხვათა შორის შევნიშნათ, რომ ნიადაგის კოლოიდური ნაწილის როლის შეფასებისას მხედველობაში უნდა ვიქონიოთ ის არსებითი გარემოება, რომ ნიადაგში, გელების კოაგულიაციისა და კრისტალიზაციისთან ერთად, განუხრელად მიმდინარეობს კოლოიდების ახლად წარმოქმნაც. ამიტომ, გარკვეულ მომენტშიაც კი დადგენილი მათი უმნიშვნელო მონაწილეობა პროცესის მუდმივსა და განუხრელ მოქმედებას მოწმობს, ხოლო შედეგებმა შეიძლება მეტად მნიშვნელოვანი გამოსახულება პოვოს დროის ამა თუ იმ მონაკვეთში.

თუმცა ნიმუშების პეპტიზაციისათვის დაბალი კონცენტრაციის ელექტროლიტები იყო ნახმარი, მაგრამ, ზოგადი დებულებებიდან გამომდინარე, შესაძლებლად ჩავთვალეთ მიგარი ფაზის ნაწილობრივ მოლეკულური ხსნადობაც.

მართლაც, როგორც გამოირკვა, ნივთიერებათა ხსნადობის მაქსიმუმი მქავე პირობებზე მოდის. ერთნახევარი ჟანგეულების გარდა, ამავე პირობებში სილიციუმიც იჩენს თავს, მაგრამ ამისთანავე გაურკვეველია რატომ არ შეტანდება ის ტუტე რეაქციის არეში. ჩვენი აზრით, ეს მოვლენა ანიონური

ცხრილი 2

საინჟინერო-გეოლოგიური ინსტიტუტის ფრაქციების მთლიანი ანალიზის შედეგები

სიღრმე	გაზურ. დაზაქ.	SiO ₂	Al ₂ O ₃	Fe ₂ O ₃	TiO ₂	P ₂ O ₅	CaO	MgO	SiO ₂ R ₂ O ₃	SiO ₂ Al ₂ O ₃	SiO ₂ Fe ₂ O ₃
0-18	19,03	43,10	20,15	14,96	1,26	0,19	0,27	0,77	2,35	3,64	7,64
35-45	13,86	38,49	27,56	16,66	1,04	0,31	0,67	0,63	1,66	2,38	6,17
82-100	13,72	36,55	30,61	16,42	1,19	0,12	1,03	0,17	1,46	2,03	5,92
143-151	15,23	36,91	26,84	17,09	0,82	0,26	0,30	0,76	1,60	2,34	5,49
237-280	14,20	26,02	27,46	18,53	1,13	0,43	აზვკვ.	0,65	1,10	1,63	3,78
362-440	13,81	45,75	26,63	13,32	0,19	1,10	0,41	აზვკვ.	2,21	2,92	9,09
შ უ ა ლ ე დ ი ფ რ ა კ ც ი ა (S-0,2t)											
0-18	27,69	31,25	21,16	17,65	1,03	0,29	2,02	1,44	1,58	2,47	4,74
35-45	25,69	30,97	21,85	16,98	0,65	0,38	1,39	1,26	1,58	2,50	4,88
82-100	26,15	28,40	26,17	15,30	0,30	0,17	1,35	1,08	1,33	1,97	4,97
143-151	საშპ.	საშპ.	საშპ.	საშპ.	0,24	0,39	2,27	1,08	---	---	---
237-280	34,57	38,29	14,15	9,48	0,98	0,27	1,10	0,96	3,08	4,59	11,00
362-440	25,90	34,59	21,72	13,30	0,28	0,29	2,00	1,36	1,93	2,75	6,96
კ ა ლ ე დ ი ფ რ ა კ ც ი ა (< 0,2t)											

ცხრილი 3

სხედასხვა დისპერსიული არეში განყოფილი შუალედი და კოალიდური ფრაქციების მთლიანი ანალიზის შედეგები

სიღრმე	დისპერსიის არე	ფრაქცია	გაზურ. დაზაქ.	SiO ₂	Al ₂ O ₃	Fe ₂ O ₃	TiO ₂	P ₂ O ₅	CaO	MgO	SiO ₂ R ₂ O ₃	SiO ₂ Al ₂ O ₃	SiO ₂ Fe ₂ O ₃
0-18	შუალი	< 0,2t	56,92	18,32	11,96	8,62	0,18	აზაა	0,68	1,86	1,02	2,61	5,65
"	"	5-2t	15,75	41,58	23,68	14,00	1,28	0,30	0,58	1,10	2,06	2,98	7,88
0-18	HNO ₃	< 0,2t	37,56	37,20	8,97	9,02	0,66	0,69	0,88	2,19	4,08	7,05	11,07
"	"	5-0,2t	15,32	42,56	21,54	15,52	1,20	0,35	1,03	1,03	2,18	3,35	7,23
0-18	Li ₂ CO ₃	< 0,2t	27,69	31,25	21,16	17,65	1,03	0,29	2,02	1,44	1,58	2,47	4,74
"	"	5-0,2t	19,03	43,10	20,14	14,96	1,26	0,19	0,27	0,77	2,35	3,64	7,64

შთანთქმის გაძლიერებაში მდგომარეობს. კერძოდ, ორგანული და ფოსფორის მკვებები და სხვა ანიონები, ამეგებენ რა შთანთქმავი კომპლექსიდან ნაწილობრივად ადსორბირებულ სილიციუმის მკვებას, (SiO_2 , $HSiO_3$). უკანასკნელი თავს იჩენს მკვებე ხსნარებში. არა ნაკლებ საყურადღებოა ტუტემიწა მეტალების მაღალი ხსნადობა, რაც უთუოდ მიოლოგიური დაგროვებითაა გაპირობებული.

კოლოიდური და კოლოიდწინა ფრაქციების ქიმიურ ბუნებაში გასარკვევად ვათავსებთ თანამიმდევრობით ორ ცხრილში შეჯამებულ ანალიზურ მასალას. პირველი მათგანი ლითიუმ-იონით პეპტიზირებულ ფრაქციებს შეეხება, ხოლო მეორე — სხვადასხვა არეში დისპერგირებულებს.

სილიციუმის მკვებას ფრაქციების მიხედვით თენობრივ განაწილებაში აშკარად ივარაუდება მისი გენეტიკური პირიზონტების კოლოიდურ ნაწილში შემცირება. ერთნაბევაირი ეანგეულების ქცევა არათანაბარია. მცირე ზომის ნაწილაკებში ალიუმინიუმი თუ მცირდება, რკინა, პირიქით, მატულობს. რკინის აკუმულაციის მაქსიმუმი გენეტიკურ პირიზონტებზე მოდის. გამოფრტუვებისას კი მას ნაწილობრივი დეპოზიცია ემჩნევა. რაც შეეხება ფოსფორის მკვებასა და ტიტანს, პირველი მათგანი ოდნევი დეგროვებით ხსნითდება, ხოლო მეორეს ზედაპირული ფენების წვრილ ფრაქციებში შემცირების აშკარად გამოსახული ტენდენცია აქვს ტუტემიწაში; განსაკუთრებით კი კალციუმში, თავმოყრილია წვრილ დისპერსიულ ნაწილში.

მოყვანილი მონაცემებიდან აშკარად ჩანს, რომ დისპერგირების სხვადასხვა არეში გამოყოფილი კოლოიდები თვისობრივად და რაოდენობრივად ერთმანეთისაგან მკვეთრად განსხვავდებიან. თუ სხედველობაში მივიღებთ წყლის არეში გამოყოფილ კოლოიდურ ნაწილში გახურებით გამოწვეული დანაკარგის მეტად მაღალ მაჩვენებელს (57%), შეიძლება დავასკვნათ, რომ ის უმთავრესად ორგანოგენული ბუნებისაა. ეს კოლოიდური ნაწილის მკვებე პირობების შემთხვევაშიც მტკიცდება. როგორც ჩანს, ამ პირობებში ჩვენ საქმე გვაქვს მაღალი აქტიურობის კოლოიდურ-დისპერსიულ ჰუმინურ ნივთიერებებთან.

სილიციუმის მკვებას მაქსიმუმი მკვებე დისპერსიული არის კოლოიდურ ნაწილშია ფიქსირებული. შუალედ ფრაქციებში მისი შემცველობა, დისპერსიის სამივე შემთხვევაში, სტაბილურია. ამასთან დაკავშირებით ვფიქრობთ, რომ წითელმიწებში სილიციუმისა და ჰუმინური ნივთიერებების მიგრაციის მექანიზმი ურთიერთ „დაცვით“ ხორციელდება. ყოველ შემთხვევაში, მკვებე ვართა აზრი ნივთიერებათა ორგანულ-მინერალური კომპლექსის სახით მოძრაობის შესახებ [9] ზემოთ მოყვანილი მონაცემებითაც მტკიცდება.

ამრიგად, ჩატარებული გამოკვლევების მიხედვით, ნიადაგის წვრილი დისპერსიული ნაწილის საყოველთაოდ მიღებული ხერხებით დათიშვა და მისი შედგენილობის ანალიზი არ იძლევა საკმაო წარმოდგენას ნიადაგწარმოქმნის პროცესებზე. ძნელად დასაშვებია, რომ პეპტიზაციის მიზნით საანალიზო ნიმუშში მაღალი კონცენტრაციის ელექტროლიტის ხმარებამ დისოლიაციური ეფექტის, ჰიდროლიზისა თუ სხვა მოვლენების განვითარების გამო არ გამოიწვიოს კოლოიდური მიცელის ბუნებრივი აგებულების დარღვევა-შეცვლა. ჩვენს ექსპერიმენტულ მასალის მიხედვით 0,1 ნორმალის ნახშირმკვებე ლითიუმითაც კი დისპერგირებული კოლოიდები, რაოდენობრივად და თვისობრივადაც მკვეთრად განსხვავდებიან წყლისა და მკვებას არეებში გამოყოფილებისაგან. ეს იმ დროს, როდესაც განხილული ნიადაგწარმოქმნის პროცესები, როგორც ცნობილია, აშკარად მკვებე პირობებში მიმდინარეობს (pH-4—6 მდე).

ზემოთქმულიდან გამომდინარე, ნიადაგის ფიზიკურ-ქიმიური თვისებების შესწავლისას სხოლოდ შთანთქმული ფუძეების განსაზღვრა და ანიონური შთანთქმის უგულვებელყოფა არ იძლევა ნათელ წარმოდგენას არც შთანთქმის ტევადობზე და არც იმ პოტენციალად აქტიურ იონებზე, რომლებსაც არსებითი მნიშვნელობა აქვთ როგორც ნიადაგწარმოქმნის, ისე ფიზიოლოგიურ პროცესებში. ამიტომ, ვეყრდნობით რა იმ მოსაზრებას, რომ ტუტე რეაქციის დისპერსიის არეში ($0,1$ ნორმ. Li_2CO_3) კოლოიდური ნაწილის შედარებით მაღალი გამოსავალბ მეტწილად ახლად გამოვლენილი გელების პეპტიზაციითაა უზრუნველყოფილი. შესაძლებლად ნიგვანია ზოგიერთი განზოგადება.

პირველ ყოვლისა აღსანიშნავია ორგანული ნივთიერებითა მდიდარი პორიზონტებიდან და უპუმუსო ფენებიდან გამოყოფილი კოლოიდური ფრაქციების მკვეთრი ურთიერება განსხვავება. ეს გარემოება აუცხადებლად მიღებულ უნდა იქნეს მყიდველობაში, ვინაიდან ძვირფასი სუბტროპიკული კულტურებით ათვისებული ზოგიერთი ფართობის ნიადაგური სიფარი გაშიშვლებულია და ალაგ-ალაგ გამოფიტვის ქერქამდეა დასული.

ზემოთ აღწერილ პროფილში არსებითად განვითარებულია სამი მკვეთრად განსხვავებული ნაწილი. ქვედა—გამოფიტვის პირველ სტადიაში მყოფი; რომელშიაც სილიციუმის მკავას უმეტესი ნაწილი შთანთქმევ კომპლექსშია მოქცეული და მას სილიციურ ბუნების აძლევს. მაშინ აქტიული კოლოიდების შეწყველობა უმნიშვნელოა. ამ ფენის მოსდევს შუა—განსაკუთრებით სუფრადღებო ნაწილი, მისთვის დანახასიათებელი დიდებითი მუხტის კოლოიდური კომპლექსით. ამ შემთხვევაში წვრილი დისპერსიული ნაწილი დიდ რაოდენობას აძლევს და გათიონტო შთანთქმევ საქმოდია განვითარებული.

რაც შეეხება ზედაპირულ, პუმუსურ ფენაში მიმდინარე პროცესებს, უკანასკნელი შეზღვენაირად გვაქვს წარმოდგენილი; ახლად წარმოქმნილი ორგანული მყოფები, ანუ იყენ რა ადრე შთანთქმულ ანიონებს, დაგროვების მახდლები ამლიერებენ შთანთქმევი კომპლექსის ელექტროუყოფით ნაწილს. ამასთანავე, როგორც ჩანს, აქ ნაწილობრივ მყოფი კვარციის წარმომობასაც აქვს ადგილი უთუოდ კონსტალზაციის უნარის მქონე სილიციუმის მკავას ხაოჯზე. ამ მოსაზრების მართებულება სილიციუმის მკავას ტუტე პირობებში უსხნადობის ფაქტითაც მტკიცდება. ამას ვარდა, შესაძლებლად მიგვანინია მისი სხვა გზითაც წარმოშობა, კომოდ ორგანული მყოფების შენაცვლებით. ყოველ შემთხვევაში, ასეა თუ ისე, პროცესის შემდგომმა განვითარებამ მაღალი აქტივობის პუმუსის შემწეობით უნდა გააღრმავოს გეწერება, რომლის აშკარა ნიშნები საქმოდ შესამჩნევა წითელმიწების განვითარების ახლანდელ სტადიაშიც კი.

დ ა ს კ ე ნ ე ბ ი

1. წყლისა და სუსტი მკავას დისპერსიული სისტემებიდან კოლოიდური ფრაქციის უმნიშვნელო რაოდენობით მიღებულა სხოლოდ პუმუსური პორიზონტის ნიშნებიდან; დაახლოებით სიმეფო მეტი, თითქმის 5% იყო კოლოიდების გამოსავალი ლითუმ იონით წინასწარ პეპტიზირებული იმავე ზედაპირული პორიზონტის ნიშნებიდან. ახლად გამოფიტული ღრმა ფენებიდან მიღებული კოლოიდები მინიმალური რაოდენობისაა ($1,2-2,0\%$), ხოლო შუა პორიზონტები ამ მხრივ გარდამავალი მარგენებლებით ხასიათდება;

2. დაუთიშავე ტიმუშებთან შედარებით, Li იონით პეპტიზირებულ ფრაქციებში ნივთიერებათა განაწილება შემდეგ სურათს ამჟღავნებს: უმცირეს ნაწილაკებში სილიციუმის მკავა მცირდება; პუმუსი—პირიქით, მისი მაქსიმუმი კოლოიდურ ფრაქციაზე მოდის; ალიუმინიური მცირდება, ხოლო რკინა ნია-

დავის კოლოიდურ ფრაქციაში კლებულობს; ტიტანი ეცემა, ფოსფორი კი უმნიშვნელოდ მატულობს მცირე ზომის ნაწილაკებში. კირი აკუმულირებულია უწყვილეს ნაწილში;

3. წყლისა და სუსტი მჟავას დისპერსიულ არეებში აქტიური ჰუმუსის როლი მკვეთრად იზრდება;

4. ნიადაგთწარმოქმნასა და მასთან დაკავშირებით ნივთიერებათა გადაადგილებაში განსაკუთრებული როლი მიგრაციის მაღალი თვისებების მქონე კოლოიდურ ჰუმუსს ეკუთვნის. ჰუმუსის გარდა, არაბაკლები „დამცველი“ მნიშვნელობა აქვს სილიციუმის ზოლს. დასაშვებად მიგვაჩნია აგრეთვე მათი კომპლექსური ფორმით თანაარსებობა;

5. არც ერთი აგროტექნიკური ღონისძიება, ეხება ის ქიმიზაციის თვისობრივს თუ ნორმების მხარეს, ეროზიის საწინააღმდეგო ხერხებს თუ ნიადაგის დამუშავებას, არ შეიძლება ერთგვარად განზოგადებულ იქნეს წითელმიწებზე მათი ამა თუ იმ ვარიანტის პროფილის თავისებურებათა ანგარიშგაუწველად. ორგანულ სასუქებს განსაკუთრებული მნიშვნელობა აქვს არა მარტო დარეცხილ ფართობებზე; ისინი უთუოდ უფრო ეფექტურს ხდიან მიწერალური სასუქების გამოყენებას;

6. მოკირიანებას სერიოზული მნიშვნელობა აქვს მკვეთრად გამოსახულ გაეწრებულ სხვაობებზე მაგრამ მისი ნორმების შემუშავება სხვა მეთოდებს უნდა ემყარებოდეს. ნიადაგების შთანთქავი კომპლექსისა და გავრცელებულ კულტურათა ფიზიოლოგიური სპეციფიკურობის შესაბამისად.

საქართველოს სსრ მეცნიერებათა აკადემია
ნიადაგმცოდნეობის, აგროქიმიისა და
მელიორაციის ინსტიტუტი
თბილისი

(რედაქციას მოუვიდა 14.2.1951)

დამოწმებაში ლიტერატურა

1. И. Н. Антипов-Каратаев, А. П. Вишняков и В. Г. Сочеванов. Связывание анионов PO_4 почвами и их компонентами при различных значениях рН. Труды ЛОЕИУАА, В. 23, 1933.
2. И. Н. Антипов-Каратаев и А. И. Рабинерсон. Перераспределение почв кислотами и связывание анионов. Труды ЛОЕИУАА, В. 17, 1938.
3. А. С. Вознесенский и А. Б. Арцруни. Физико-химические свойства почвы как фактор поверхностного смыва. ЗабГИЗ, 1935.
4. В. А. Ковда. Вязовой состав коллоидной фракции в солонцах Заволжья. Проблемы советского почвоведения. Сб. 7, 1939.
5. გ. კოსტავა. აჯამეთის მემინდვრეობის საცდელი სადგურის ნიადაგების გენეზისი და აგროსაწარმოო თვისებები. აჯამეთის მემინდვრეობის საცდელი სადგურის შრომები. ტომი I, 1947.
6. ლ. ნაკაშიძე. მასალები ტყის ყომრალი ნიადაგების მინერალური შედგენილობის შესწავლისათვის. საქართველოს სსრ მეცნიერებათა აკადემიის შრომები, ტომი XI, № 7, 1950.
7. Б. Б. Полянов и Л. И. Троицкий. Обмен поглощенных анионов в красноцветных почвах Алжарии. ДАН СССР, IV, № 1-2, 1935.
8. А. А. Роде. О химическом составе механических фракций... Труды почвенного института им. В. В. Докучаева. т. VIII, в. 3.
9. А. Ф. Тюлин. Наука о почвенных коллоидах и очередные задачи почвоведения. Сборник физико-химических исследований почв и удобрений, 1938.



ფიზიოლოგია

ა. როიტბაპი და ს. ხაჩნაშვილი

საყნოსავი ბოლქვის ელექტრული აქტივობის საკითხისათვის

(წარმოადგინა აკადემიკოსმა ი. ბერიტაშვილმა 8.3.1952)

ე. ედრიანმა გამოაქვეყნა წერილი „ძუძუმწოვართა საყნოსავი ბოლქვის ელექტრული აქტივობა“ [1]. ამ გამოკვლევის ძირითადი ფაქტობრივი მონაცემები შეიძლება შემდეგნაირად ჩამოვაყალიბოთ: შინაური კურდღლის საყნოსავი ბოლქვიდან აღირიცხება ორი სახის ელექტრული რხევები: ა) დიდი ამპლიტუდის მქონე სინუსოიდური რხევები, რომელთა სიხშირე სეკუნდში დაახლოებით 50-ს უდრის და ბ) არარეგულარული რხევები, სიხშირით 70 — 110 სეკუნდში.

შემოკლების მიზნით ჩვენ პირველი სახის რხევებს ვუწოდებთ რიტმს 50 სეკუნდში, ხოლო მეორე ტიპისას — რიტმს 100 სეკუნდში. რიტმი 50 სეკუნდში აღმოცენდება მხოლოდ ძლიერ ყნოსვით გაღიზიანებათა საპასუხოდ; ამ დროს სინუსოიდურ რხევათა ჯგუფი ჩვეულებრივ შესუნთქვის მომენტში აღირიცხება. რიტმი 100 სეკუნდში ვანუწყებელივ აღმოცენდება და შეიძლება იგი არ იცვლებოდეს ყნოსვით გაღიზიანებათა ზეგავლენით; გამომყვან ელექტროდთა ზოგიერთ მდებარეობისას ყნოსვითი გაღიზიანების საპასუხოდ შეიძლება აღინიშნოს ამ რიტმის რხევათა შესუსტება სინუსოიდური რიტმის (50 სეკუნდში) ჯგუფებს შორის შუალედებში; ყნოსვითი გამაღიზიანებლის ხანგრძლივი მოქმედებისას თავდაპირველად შესუსტებული რიტმი 100 სეკუნდში თანდათანობით უბრუნდება პირვანდელ დონეს; სინუსოიდური რიტმის (50 სეკუნდში) ხასიათი და ამპლიტუდა არ იცვლება ყნოსვითი გამაღიზიანებლის ხანგრძლივი მოქმედებისას.

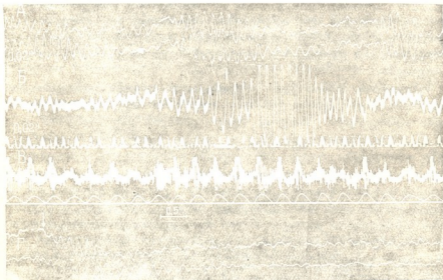
აღნიშნული ფაქტების საფუძველზე ე. ედრიანს გამოყავს თეორიული ხასიათის შემდეგი დასკვნები: ა) სინუსოიდური რხევები (50 სეკუნდში) განიხილება როგორც საყნოსავი ბოლქვის მიტრალურ უჯრედთა დიდი ჯგუფის სინქრონული აგზნების გამოვლინება; ბ) არარეგულარული რხევები რიტმისა 100 სეკუნდში განიხილება როგორც ბოლქვის ნეირონთა ასინქრონული „სპონტანური“ აგზნების შედეგი (უმთავრესად — მოკლე აქსონიან ნეირონთა).

მიღებული მონაცემების საფუძველზე ე. ედრიანი ახლებურად ხსნის ყნოსვითი გაღიზიანებისადმი ადაპტაციის მექანიზმს. მისი კონცეფციის თანახმად, რიტმს 100 სეკუნდში მიეწერება შემაკავებელი გავლენა „ინდუცირებული ტალღების“ მიმართ (რიტმისა 50 სეკუნდში); ე. ედრიანი ატარებს ანალოგიას

მის მიერ საყნოსავი ბოლქვის წიშართ დადგენილ ფაქტებსა და რიგ ცნობილ ფაქტებს შორის, რომლებიც დიდი ტენიის ქერქის ფიზიოლოგიას შეეხება (მაგალითად, ადამიანის ალფა-რიტმის შეცვლის შესახებ-ხანგრძლივ გარეშე გალიზიანებათა ზეგავლენით).

ჩვენ გავიმეორეთ ე. ვერბანის ცდები და დავადასტურეთ მის მიერ აღწერილი ფაქტების უმრავლესობა, მაგრამ მიღებულ შედეგთა ანალიზმა სრულებით მოულოდნელ შედეგებამდე მიგვიყვანა.

როგორც ე. ვერბანი, ჩვენც აღვრიცხავდით შინაური კურდღლის საყნოსავი ბოლქვიდან ორი სახის რხევებს — სინუსოიდურ რხევებს სიხშირით 50 სეკუნდში და რიტმს 100 სეკუნდში; მაგრამ გამოირკვა, რომ ასეთი პოტენციალები აღირიცხება არა მხოლოდ ბოლქვიდან, არამედ მის ირგვლივ მყოფი ძვლებიდანაც (სურ. 1, A). სურათზე 1, B მოყვანილია ტიპობრივი ჯგუფი სინუსოიდური რხევებისა (50 სეკუნდში).



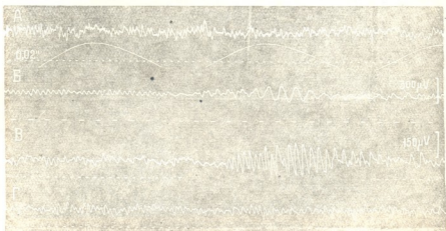
სურ. 1. A — პირველი რეგისტრაცია აღირიცხებ. მაკროელექტროდებით მიღებული საყნოსავი ბოლქვის სიღრმეში (ქვედა მრუდი) და ხეისისმაგვარი ელექტროდებით ცხვირის ძვლებიდან მიღებული (ზედა მრუდი); B — პოტენციალები აღირიცხება ძვლებიდან საყნოსავი ბოლქვის მიდამოში; C — პოტენციალები აღირიცხება მხოლოდ საყნოსავი ბოლქვის სიღრმეში (ზედა მრუდი). ერთდროულად აღირიცხება გულმკერდის სუნთქვითი მოძრაობები (ქვედა მრუდი); F — გავიფიქრება A ხანაწერისა ისრით აღიწინულ მონენტში ცხოველსა ში სუნთქვა ამილ-აქტატი. ყოველ ცდა ჩატარებულია შინაურ კურდღლებზე

ელექტრულ პოტენციალთა და გულ-მკერდის სუნთქვით მოძრაობათა ერთდროული რეგისტრაცია გვიჩვენებს, რომ ჯგუფები რხევებისა 50 სეკუნდში აღმოცენდება ყოველი ღრმა შესუნთქვის დროს, სპეციალურ ყნოსვით გალიზიანებათა გარეშეც (სურ. 1, B). თუ შინაურ კურდღელს ტრაქეოტომიას გავუ-

კეობთ და მას ტრაქტალური მილით ვასუნტებთ, რიტმი 50 სეკუნდში არ აღირიცხება არც საყნოსავი ბოლქვიდან და არც მის ირგვლივ ძვლებიდან. იმავე ცხოველზე შეიძლება აღვიცხოთ რიტმი 50 სეკუნდში, თუ ჰაერს ხელოვნურად გავუტარებთ ცხვირის ღრუში.

მოყვანილი ფაქტები მოწმობს, რომ სინუსოიდური რიტმის (50 სეკუნდში) აღმოცენების აუცილებელ პირობას შესუნტეული ჰაერის ცხვირის ღრუში გატარება წარმოადგენს.

საყნოსავი ბოლქვის ელექტრული აქტივობის მეორე ტიპი, ე. ი. რიტმი 100 სეკუნდში არაა დაკავშირებული სუნტევისთან და კარგადაა განოხატული ისეთ ცხოველზეც, რომელიც ტრაქტალური მილით სუნტავს (სურ. 2, A).

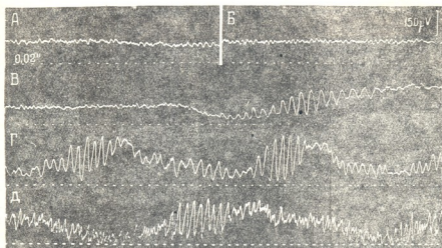


სურ. 2. A — ტრაქტოტიმირებული შინაური კურდღელი, სუნტავს ტრაქტალური მილით. პოტენციალები აღირიცხება საყნოსავი ბოლქვის ზემოთ მდებარე ძვლიდან. ერთდროულად აღირიცხება გულმკერდის სუნტეკითი მოძრაობა (ქვედა მრუდი); B — სხვა ცხოველი, სუნტავს ცხვირით. პოტენციალები აღირიცხება ძვლებიდან ცხვირის წვეტი მდამაპი; C — ტრაქტოტიმირებული შინაური კურდღელი, სუნტავს ცხვირით. პოტენციალები აღირიცხება საყნოსავი ბოლქვის ზემოთ მდებარე ძვლიდან; D — გაგრძელება B ცდისა ცხოველი სუნტავს ტრაქტალური მილით

ზოგჯერ ამ სხევათა სიხშირე სეკუნდში 150-ს აღწევს და ცალკეულ რხევებს სინუსოიდური ფორმა აქვს (სურ. 2, B).

ჩვენი ყურადღება მიიქცია შემდეგმა ფაქტებმა: 1) სინუსოიდურ რხევათა (50 სეკუნდში) აღმოცენება სპეციალურ ყნოსვით გალიზიანებათა გარეშე; 2) არაკანონზომიერი ხასიათი სინუსოიდური რიტმის (50 სეკუნდში) გაძლიერებისა და რიტმის 100 სეკუნდში შეკავებისა ყნოსვით გალიზიანებათა შეგავლენით; 3) გასაოცრად სწორი, თითქმის სინუსოიდური ფორმა რიტმისა 50 სეკუნდში (ზოგჯერ სინუსოიდურია რიტმიც 100 სეკუნდში). ასეთი გეომეტრიულად სწორი ფორმა არ ახასიათებს ტვინში აღმოცენებულ ელექტრულ რხევებს [2].

ჩვენ დაეყენეთ რიგი საკონტროლო ცდები ამ რხევათა ბუნების გამო-სარკვევად: 1) გაზიშვლებულ საყნოსავ ბოლქვებს ვაცივებდით 0° -მდე ან ვწამლავდით კოკაინით (20% ხსნარით). ორივე შემთხვევაში საყნოსავი ბოლქვებიდან და თავისქალის ძვლებიდან კვლავ აღირიცხებოდა ელექტრული რხევები 50 სეკუნდში და 100 სეკუნდში (სურ. 3A—B); 2) ცხოველს სრულებით ვაცივდით საყნოსავ ბოლქვებს. თუ ამ ოპერაციას ფაქიზად ვაწარმოებდით (ტვინის ამოსრუტვის გზით) თავისქალის ძვლებიდან კვლავ აღირიცხებოდა რიტმი 50 სეკუნდში (სურ. 3, Γ); 3) საყნოსავი ბოლქვების ამოცლის შემდეგ ცხო-



სურ. 3. ცდები A—B ჩატარებულია ტრაქოტიომირებულ, დაუნარკოზებულ შინაურ კურდღელზე. პოტენციალები აღირიცხება საყნოსავი ბოლქვიდან: A—ცხოველი სუნთქავს ტრაქეალური მილით; B—იგივე საყნოსავი ბოლქვების კოკაინით მოწამვლის შემდეგ (20%-ანი ხსნარით); B—გაგრძელება B ცდისა, ცხოველი სუნთქავს ცხვირით; Γ—დაუნარკოზებული შინაური კურდღელი, რომელსაც ამოცილი აქვს საყნოსავი ბოლქვები. პოტენციალები აღირიცხება ცხვირის ძვლებიდან; D—დეცერებრირებული შინაური კურდღელი, რომელსაც ამოცილი აქვს საყნოსავი ბოლქვები. პოტენციალები აღირიცხება ცხვირის ძვლებიდან

ველ ვაცივდით თავის ტვინის დიდ ნაწილს (დეცერაცია). ამის შემდეგ ისევ აღირიცხებოდა ორივე ტიპის რხევები — 50 სეკ-ში და 100 სეკ-ში (სურ. 3, B).

მოყვანილი ცდები მოწმობს, რომ რეგულარული რხევები 50 სეკუნდში არ შეიძლება მივიჩნიოთ საყნოსავი ბოლქვის ნერვულ ელემენტთა მოქმედების გამოვლინებად და საერთოდ — ტვინის ქსოვილის მოქმედების შედეგად. სინუსოიდური რიტმის (50 სეკუნდში) წარმოქმნის დასადგენად, ტრაქოტომირებულ კურდღლებს ფართოდ ვუხსნიდით ცხვირის ღრუს და ჰაერის ნაკადით ვმოქმედებდით მის სხვადასხვა უბანზე. გამოირკვა, რომ სინუსოიდური რხევები 50 სეკუნდში აღმოცენდება მხოლოდ მაშინ, როდესაც ჰაერის ნაკადი ცხვირის ნიჟარების უკანა კომპლექსზე მოქმედებს. ამ ნიჟარების ან მათთან

კონტაქტში მყოფი ცხვირის ძგიდის მსუბუქი ტრავმის შემდეგაც კი სინუსოიდური რხევები აღარ აღმოცენდება (მაშინაც კი, როდესაც ჰაერის ნაკალს საყნოსავ ნაპრალში მივმართავთ, რომელიც განსაკუთრებით მდიდარია ყნოსვის რეცეპტორებით). ეს ცდა ამტკიცებს, რომ რხევები რიტმისა 50 სეკუნდში არ წარმოადგენს ყნოსვის რეცეპტორების ან საყნოსავი ნერვის ბოქკოთა აგზნების ბიოდენებს.

ამრიგად, სავსებით ცხადია, რომ რიტმი 50 სეკუნდში ფიზიკური მოვლენაა, რომელიც ცხვირის გარკვეულ სტრუქტურათა ვიბრაციით უნდა იყოს გამოწვეული.

შეიძლება ითქვას, რომ რიტმი 100 სეკუნდში აგრეთვე არტეფაქტს უნდა წარმოადგენდეს. ის გარემოება, რომ აღნიშნული რიტმი ზოგჯერ სუსტდება სინუსოიდურ (50 სეკუნდში) რხევათა აღმოცენებისას, ფიზიკური მოვლენებით უნდა აიხსნას; ამას მოწმობს ცდები, მოყვანილი სურ. 3, B და B-ზე; ხშირი რიტმი სუსტდება ცხვირით სუნთქვისას, როდესაც აღმოცენდება რხევები რიტმისა 50 სეკუნდში იმ შემთხვევაშიც, როდესაც საყნოსავი ბოლქვები კოკაინითაა მოწამლული.

ამრიგად, თითქმის ყველა ფაქტი, აღწერილი ე. ედრიანის მიერ, მოკლებულია ინტერესს ნეიროფიზიოლოგიის თვალსაზრისით, ხოლო მისი თეორიული მოსაზრებები საყნოსავი ბოლქვის ნეირონულ ელემენტთა მოქმედებისა და ყნოსვითი გალიზიანებისადმი ადაპტაციის მექანიზმის შესახებ უსაფუძვლოდ უნდა მივიჩნიოთ.

საქართველოს სსრ ზეცნიერებათა აკადემია
ფიზიოლოგიის ინსტიტუტი

თბილისი

(რედაქციას მოუვიდა 28.3.1952)

დამოწმებული ლიტერატურა

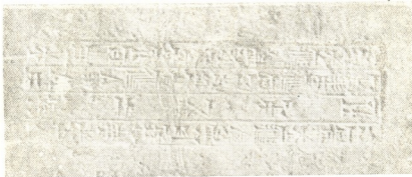
1. E. D. Adrian. EEG Clin. Neurophysiol., 2, 277, 1950.
2. Редакционная статья. Труды инст. физиологии АН Грузинской ССР, 8, 293, 1950.

ბ. მელიქიშვილი

საქართველოს მუზეუმის ბაბილონური წარწერა

(წარმოადგინა აკადემიის ნამდვილმა წევრმა ნ. ბერძენიშვილმა 14.7.1951)

ს. ჯანაშიას სახელობის საქართველოს სახელმწიფო მუზეუმში მოიპოვება დიდი ზომის აგური, რომელზედაც ამოკვეთილია ბაბილონეთის მეფის ნაბუქოდონოსორის (604—562 წწ. ჩ. წ.-მდე), ბაბილონში ქალდეური დინასტიის დამფუძნებელ ნაბუპალასარის (626—604 წწ. ჩ. წ.-მდე) ძის ლეუსმული წარწერა.



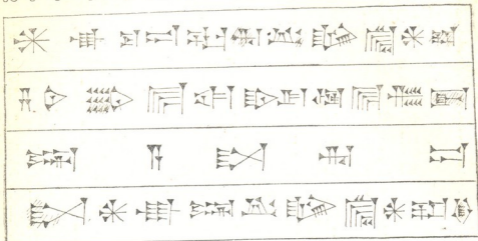
ნაბუქოდონოსორის ეპოქა, როგორც ცნობილია, ახალ-ბაბილონური სამეფოს ძლიერების გაფურჩქვნის მწვერვალს წარმოადგენს. წარმატებული ომების გვერდით, რომელსაც ბაბილონეთის ეს მეფე აწარმოებდა, ნაბუქოდონოსორი ცნობილია აგრეთვე თავისი ინტენსიური საღმრთნებლო საქმიანობით. იმ დიდ სამუშაოთა გარდა, რომელსაც ის ეწეოდა თავდაცვით ნაგებობათა მთელი სისტემის შექმნის მიზნით, ნაბუქოდონოსორი დიდ აღმშენებლობას აწარმოებდა თვით ქალაქ ბაბილონშიც, სადაც დიდი რაოდენობით აგებდნენ ან აღადგენდნენ სახლებს, სასახლეებს, ტაძრებს და სხვ ([1], გვ. 85—94; [2], გვ. 344—351; [3], გვ. 419—423). ნაბუქოდონოსორის ბევრი წარწერა მოგვითხრობს სწორედ მისი საღმრთნებლო საქმიანობის შესახებ. არაერთგზის ვხვდებით აგრეთვე მოკლე წარწერებს აგურებზე, სადაც აღნიშნულია ნაბუქოდონოსორის სახელი და მამია სახელი მოკლე ტიტულატურითურთ. სწორედ ამგვარ წარწერას წარმოადგენს წარწერა ჩვენს აგურზე.

კავკასიის მუზეუმის (ამჟამად—საქართველოს სახელმწიფო მუზეუმში) საინვენტარო წიგნში № 26—05-ით (1903 წლის 2 მაისის ჩანაწერი) ჩვენი წარწერის შესახებ ნათქვამია: „От Бориса Ивановича Шелковникова (Росс. Имп. Више-консул в Хаме (Бейруте)) (в дар). Кирпич с 4-рядной штампованной клинообразной надписью, привезенный им из Вавилона“.

აგურს კვადრატული ფორმა აქვს, რომლის ყოველი გვერდის სიგრძე 33 სმ ს უდრის. აგურის სისქეა 8 სმ. აგურის ცენტრში მოთავსებულია ოთხსტრიქონიანი ლურსმული წარწერა. სტრიქონები ურთიერთისაგან ხაზებითაა გამოყოფილი, მთლიანადაც წარწერა ჩარჩოვია მოთავსებული. წარწერას უკავია ფართობი სიგრძით—22 სმ და სიმაღლით 5 სმ.



წარწერა საინტერესოა, პირველ ყოვლისა, როგორც სამუხეუმო ექსპონატი—იგი საქართველოს მუხეუმის ერთადერთი ბაბილონური წარწერაა. წარწერის წაკითხვა სიძნელეს არ წარმოადგენს. ქვემოთ მოგვყავს ამ წარწერის ავტოგრაფია, ტრანსკრიფცია და თარგმანი.



1. ⁴nabû·ku·du·úr·ri·uður šar bābili
2. za·ni·in É·SAG·ILA ù É·ZI·DA
3. aplu a·ša·ri·du
4. ša ⁴nabû·aplu·uður šar bābili^{KI}

„ნაბუქოდონოსორი, მეფე ბაბილონისა, მარდუქისა და ნაბუს ტაძრებზე ზღრუნველი, პირველი შვილი ნაბუპალასარისა, ბაბილონის მეფისა“.

საქართველოს სსრ მეცნიერებათა აკადემია
ივ. ჯავახიშვილის სახელობის
ისტორიის ინსტიტუტი
თბილისი

(რედაქციას მოუწვია 16.4 1952)

დამოწმებული ლიტერატურა

1. Б. А. Турев. История Древнего Востока, II, 1936.
2. В. В. Струве. История Древнего Востока, 1941.
3. В. И. Авдиев. История Древнего Востока, 1948.

პასუხისმგებელი რედაქტორის მოადგილე ი. გიგინეიშვილი

საქართველოს სსრ მეცნიერებათა აკადემიის გამომცემლობის სტამბა, ავ. წერეთლის ქ. № 3/5
Типография Издательства Академии Наук Грузинской ССР, ул. Ак. Церетели № 3/5

ხელმოწერილი და საბეჭდად 10.6.1952
ბეჭდვის თარიღი 10.6.1952
ფურცლის ზომა 7×11

საღარიცხვო-საგამომცემლო ფურცელი 5
ნაბეჭდი ფორმა 5,5
ტირაჟი 1000

უგ 02691





დებულება „საბარტოველოს სსრ მეცნიერებათა აკადემიის მოამბის“ შესახებ

1. „მოამბეში“ იბეჭდება საქართველოს სსრ მეცნიერებათა აკადემიის მეცნიერი მუშაკებისა და სხვა მეცნიერთა წერილები, რომლებშიც მოკლედ გადმოცემულია მათი გამოკვლევების მთავარი შედეგები.
2. „მოამბეს“ ზეღმწვანელობს სარედაქციო კოლეგია, რომელსაც ირჩევს საქართველოს სსრ მეცნიერებათა აკადემიის საერთო კრება.
3. „მოამბე“ გამოდის ყოველთვიურად (თვის ბოლოს), გარდა ივლის-აგვისტოს თვისა— ცალკე ნაკვეთებად, დაახლოებით 5 ბეჭდური თაბახის მოცულობით თითოეული. ერთი წლის ყველა ნაკვეთი (სულ 10 ნაკვეთი) შეადგენს ერთ ტომს.
4. წერილები იბეჭდება ქართულ ენაზე, იგივე წერილები იბეჭდება რუსულ ენაზე პარალელურ გამოცემაში.
5. წერილის მოცულობა, ილუსტრაციების ჩათვლით, არ უნდა აღემატებოდეს 8 გვერდს, არ შეიძლება წერილების დაყოფა ნაწილებად სხვადასხვა ნაკვეთში გამოსაქვეყნებლად.
6. მეცნიერებათა აკადემიის ნამდვილი წევრებისა და წევრ-კორესპონდენტების წერილები უშუალოდ გადაეცემა დასაბეჭდად „მოამბის“ რედაქციას, სხვა ავტორების წერილები კი იბეჭდება საქართველოს სსრ მეცნიერებათა აკადემიის ნამდვილი წევრის ან წევრ-კორესპონდენტის წარმოდგენით. წარმოდგენის გარეშე შემოსულ წერილებს რედაქცია გადასცემს აკადემიის რომელიმე ნამდვილი წევრს ან წევრ-კორესპონდენტს განსაზღვრულ და, მისი დადებითი შეფასების შემთხვევაში, წარმოსადგენად.
7. წერილები და ილუსტრაციები წარმოდგენილი უნდა იქნეს ავტორის მიერ საცხებიტ გამოადებული დასაბეჭდად. ფორმულები მკაფიოდ უნდა იყოს ტექსტში ჩაწერილი ხელით. წერილის დასაბეჭდად მიღების შემდეგ ტექსტში არავითარი შესწორებისა და დამატების შერტანა არ დაიშვება.
8. დამოწმებული ლიტერატურის შესახებ მონაცემები უნდა იყოს შეტლებისდგვარად სრული: საჭიროა აღნიშნოს ავტორის სახელი, ნომერი სერისა, ტომისა, ნაკვეთისა, გამოცემის წელი, წერილის სრული სათაური; თუ დამოწმებულია წიგნი, სავალდებულოა წიგნის სრული სახელწოდების, გამოცემის წლისა და ადგილის მითითება.
9. დამოწმებული ლიტერატურის დასახელება წერილს ბოლოში ერთვის სიის სახით. ლიტერატურაზე მითითებისას ტექსტში ან შენიშვნებში ნაჩვენებია უნდა იქნეს ნომერი სიის მიხედვით, ჩასმული კვადრატულ ფრჩხილებში.
10. წერილის ტექსტის ბოლოს ავტორმა უნდა აღნიშნოს სათანადო ენებზე დასაბეჭდება და ადგილმდებარეობა დაწესებულებისა, სადაც შესრულებულია ნაშრომი. წერილი თარიღდება რედაქციაში შემოსვლის დღით.
11. ავტორს ეძლევა გვერდებად შეკრული ერთი კორექტურა მკაცრად განსაზღვრული ვადით (ჩვეულებრივად, არა უმეტეს ერთი დღისა). დადგენილი ვადისთვის კორექტურის წარმოდგენლობის შემთხვევაში რედაქციას უფლება აქვს შეაჩეროს წერილის დაბეჭდვა, ან დაბეჭდოს იგი ავტორის ვიზის გარეშე.
12. ავტორს უფასოდ ეძლევა მისი წერილის 50 ამონაბეჭდი (25 ამონაბეჭდი თითოეულ გამოცემიდან) და თითო ცალი „მოამბის“ ნაკვეთებისა, რომლებშიც მისი წერილია მოთავსებული.

რედაქციის მისამართი: თბილისი, ძმარქინსკის ქ., 8.